

# Crabroninae

Objektyp: **Chapter**

Zeitschrift: **Insecta Helvetica. Fauna**

Band (Jahr): **3 (1964)**

PDF erstellt am: **13.09.2024**

## **Nutzungsbedingungen**

Die ETH-Bibliothek ist Anbieterin der digitalisierten Zeitschriften. Sie besitzt keine Urheberrechte an den Inhalten der Zeitschriften. Die Rechte liegen in der Regel bei den Herausgebern.

Die auf der Plattform e-periodica veröffentlichten Dokumente stehen für nicht-kommerzielle Zwecke in Lehre und Forschung sowie für die private Nutzung frei zur Verfügung. Einzelne Dateien oder Ausdrucke aus diesem Angebot können zusammen mit diesen Nutzungsbedingungen und den korrekten Herkunftsbezeichnungen weitergegeben werden.

Das Veröffentlichen von Bildern in Print- und Online-Publikationen ist nur mit vorheriger Genehmigung der Rechteinhaber erlaubt. Die systematische Speicherung von Teilen des elektronischen Angebots auf anderen Servern bedarf ebenfalls des schriftlichen Einverständnisses der Rechteinhaber.

## **Haftungsausschluss**

Alle Angaben erfolgen ohne Gewähr für Vollständigkeit oder Richtigkeit. Es wird keine Haftung übernommen für Schäden durch die Verwendung von Informationen aus diesem Online-Angebot oder durch das Fehlen von Informationen. Dies gilt auch für Inhalte Dritter, die über dieses Angebot zugänglich sind.

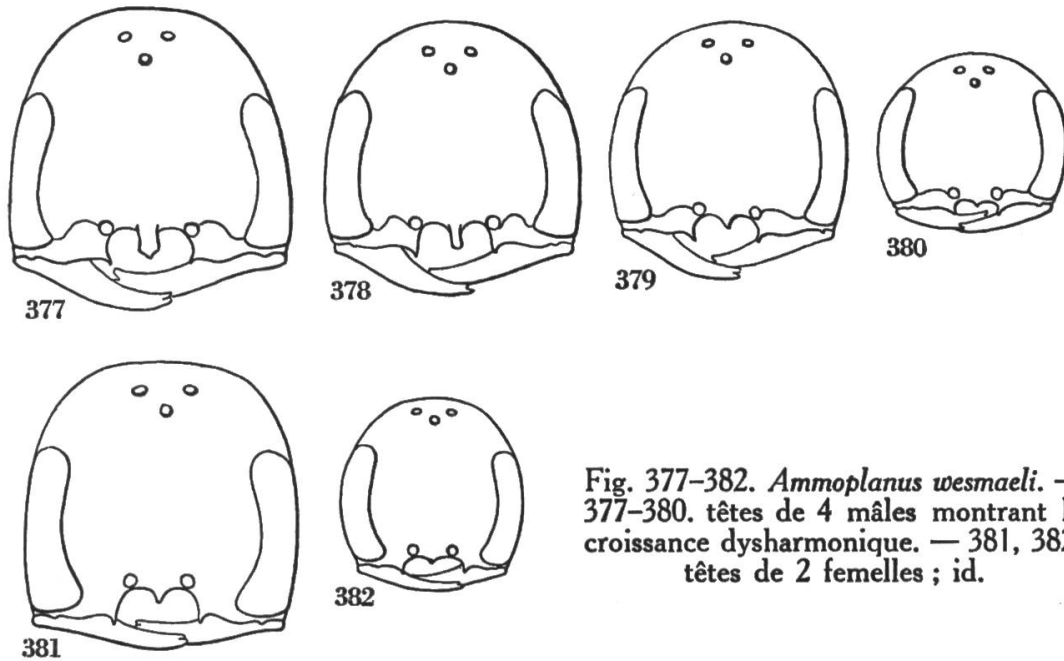


Fig. 377-382. *Ammoplanus wesmaeli*. — 377-380. têtes de 4 mâles montrant la croissance dysharmonique. — 381, 382, têtes de 2 femelles ; id.

## CRABRONINAE

Espèces de taille moyenne ou faible, généralement noires avec des dessins jaunes, formant des bandes sur l'abdomen, parfois noires, très rarement avec des zones rouges. La nervulation est caractéristique : cellule radiale tronquée ; une cellule cubitale et une cellule discoïdale, parfois réunies ; à l'aile postérieure, la nervure radiale est toujours courte et plus ou moins perpendiculaire sur le bord antérieur ; le lobe basal généralement court. Bords internes des yeux sans échancrure, parallèles ou convergents vers le clypéus ; mandibules généralement sans échancrure ; propodéum avec ou sans aire dorsale ; 1<sup>er</sup> segment abdominal parfois rétréci à la base, mais non pétiolé ; aire pygidiale présente chez la ♀, parfois chez le ♂ aussi ; un éperon aux tibias 2.

On peut reconnaître deux tribus.

1. Les Crabronini, qui correspondent au genre *Crabro* au sens très large tel que l'ont admis KOHL et plusieurs auteurs après lui, actuellement scindés en plusieurs genres ; à ceux qui se trouvent en Europe centrale, il faut ajouter, en Europe méridionale, *Encopognathus* KOHL (1 espèce) et *Tracheliodes* A. MORAWITZ (2 espèces). La cellule cubitale est séparée de la discoïdale par une nervure.

2. Les Oxybelini, qui comprennent en Europe les genres *Oxybelus* et *Belomicrus* COSTA (4 espèces en Europe mérid.). La nervure entre les cellules cubitale et discoïdale est effacée. Le postscutellum et le propodéum portent en général des appendices.

Voir : KOHL (1915), LECLERCQ (1954).

**Ectemnius** DAHLBOM

Il s'agit du groupe auquel KOHL et plusieurs auteurs après lui ont donné par erreur le nom de *Crabro* s. s.

De taille moyenne ou grande, les espèces ont très généralement des bandes ou des taches latérales jaunes sur les tergites abdominaux ; les ocelles sont en angle obtus ; les ♂ n'ont que douze articles aux antennes ; l'aire pygidiale des ♀ est creusée en gouttière ; première partie du bord postérieur de la cellule cubitale 3 ou 4 fois plus longue que la deuxième, cette dernière plus courte que la nervure cubitale transverse (fig. 383).

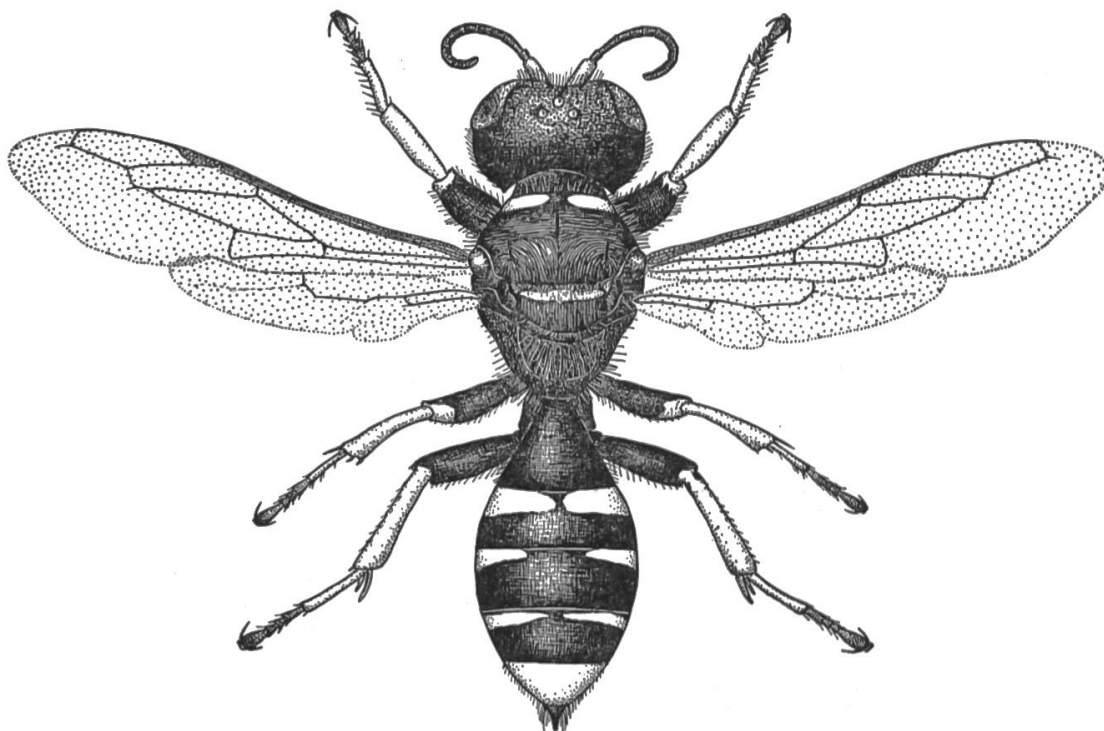


Fig. 383. *Ectemnius cephalotes* ♀.

♀ : une aire pygidiale très nettement limitée sur le 6<sup>e</sup> tergite ; antennes simples.

♂ : pas d'aire pygidiale nette ; antennes souvent avec des articles déformés.

Genre cosmopolite, mais surtout répandu dans la région holarctique, avec 23 espèces en Europe.

Les *Ectemnius* nichent dans le bois ou dans des tiges creuses et emmagasinent surtout des Diptères brachycères.

♀♀

- 1 Mésonotum et 1<sup>er</sup> tergite à pilosité dressée extrêmement courte ; le sillon scapal (zone médiane brillante du front, contre laquelle se placent les scapes) est limité en haut par une fine carène transversale arquée (fig. 393) (*Ectemnius* s. s.) . . . . . 2

- Mésonotum et généralement aussi le 1<sup>er</sup> tergite avec de longs poils dressés ; pas de carène transversale dans le haut du sillon scapal . . . . . 5
- 2 Pilosité de la partie médiane du clypéus à reflets dorés ; collare avec une forte épine à ses angles, indépendante de la carène du bord antérieur (fig. 396) . . . . . p. 128, **dives**
- Pilosité du clypéus entièrement argentée ; l'épine, plus ou moins développée, des angles du collare, est reliée à la carène du bord antérieur (fig. 394, 395) . . . . . 3
- 3 Epine des angles du collare forte, dirigée obliquement en avant (fig. 395) ; sommet de la tête avec une ponctuation relativement espacée (les espaces en moyenne aussi grands que les points) et des impressions frontales très nettement limitées . p. 129, **rugifer**
- Epine des angles du collare moins développée (fig. 394) ; sommet de la tête à ponctuation dense (les espaces en moyenne plus petits que les points) et des impressions frontales peu nettement limitées . . . . . 4
- 4 Taches des tergites 2 et 5 les plus grandes, souvent réunies en bande ; collare généralement taché de jaune . p. 129, **guttatus**

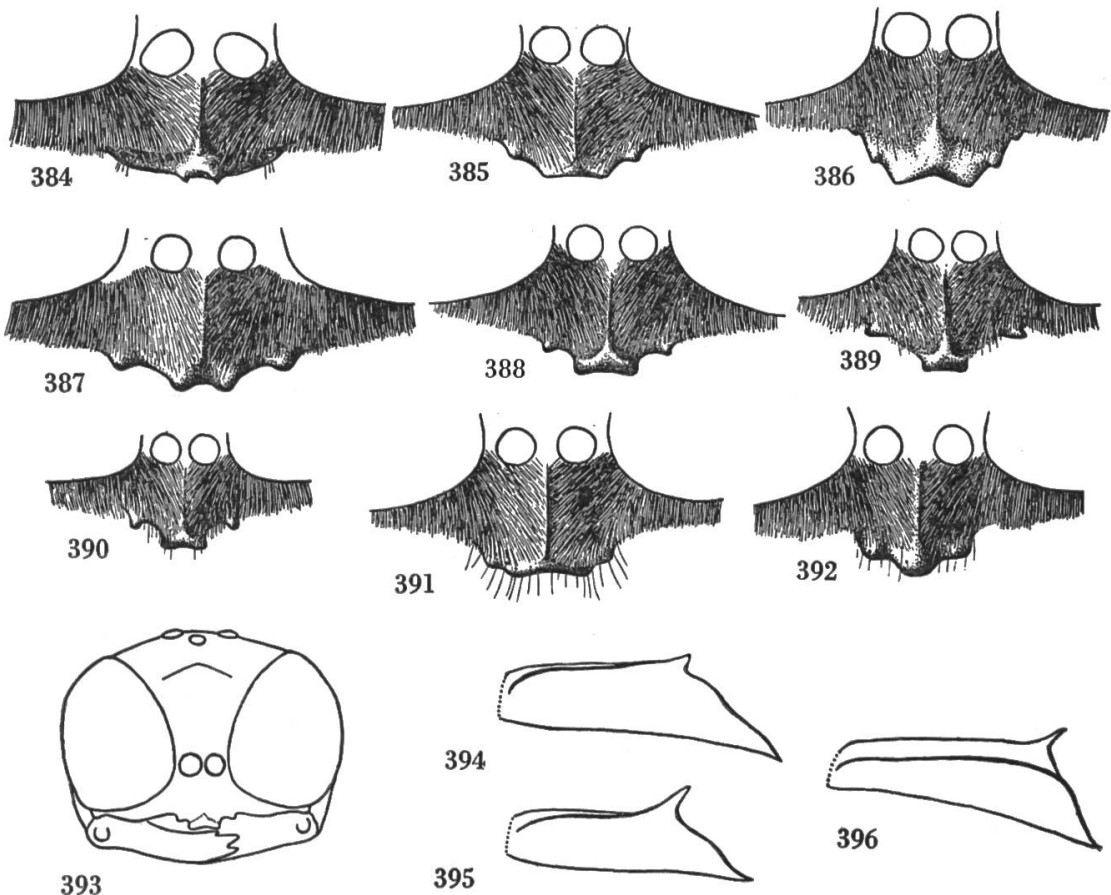


Fig. 384-396. *Ectemnius* ♀. — 384. *fossorius* ♀, clypéus. — 385. *cephalotes*, id. — 386. *spinipes*, id. — 387. *sexcinctus*, id. — 388. *cavifrons*, id. — 389. *nigrifrons*, id. — 390. *lapidarius*, id. — 391. *continuus*, id. — 392. *rubicola*, id. — 393. *dives*, tête. — 394. *guttatus*, angle du collare. — 395. *rugifer*, id. — 396. *dives*, id.—

- Taches des tergites (lorsqu'elles existent) de taille décroissante du 2<sup>e</sup> au 5<sup>e</sup>; collare noir . . . . . p. 129, **nigrinus**
- 5 Pilosité du clypéus dorée; 3<sup>e</sup> article des antennes au moins 3 fois aussi long que large; clypéus: fig. 387 à 390 (*Clytochrysus*) . . . . . 6
- Pilosité du clypéus argentée ou à faibles reflets dorés; 3<sup>e</sup> article des antennes généralement plus court . . . . . 9
- 6 Derniers sternites plus ou moins tachés de jaune; clypéus: fig. 387 . . . . . p. 127, **sexcinctus**
- Derniers sternites noirs . . . . . 7
- 7 Faces latérales du propodéum séparées de la face postérieure par de fortes carènes verticales; sillon médian de l'aire dorsale du propodéum s'élargissant en général nettement en avant; clypéus: fig. 390 . . . . . p. 127, **lapidarius**
- Pas de fortes carènes entre les faces latérales et postérieure du propodéum; sillon médian de l'aire dorsale du propodéum ne s'élargissant que faiblement en avant . . . . . 8
- 8 Le lobe médian du clypéus est plus large que la distance qui le sépare des dents latérales (fig. 388); 3<sup>e</sup> article des antennes 4 fois aussi long que large . . . . . p. 127, **cavifrons**
- Le lobe médian du clypéus est plus étroit que la distance qui le sépare des dents latérales (fig. 389); 3<sup>e</sup> article des antennes 3,5 fois aussi long que large . . . . . p. 127, **nigrifrons**
- 9 Mésopleures brillantes, avec une ponctuation nette et espacée, avec tout au plus quelques traces de striation; thorax noir (*Cameronitus*) . . . . . p. 127, **nigritarsus**
- Mésopleures striées ou réticulées; thorax généralement taché de jaune, au moins au collare . . . . . 10
- 10 Mésonotum et scutellum plus ou moins distinctement striés, au moins dans leur partie postérieure; taille 11-21 mm.; 3<sup>e</sup> tergite taché de jaune (*Metacrabro*) . . . . . 11
- Mésonotum et scutellum réticulés ou ponctués; taille: 6,5-14,5 mm.; 3<sup>e</sup> tergite souvent noir (*Hypocrabro*) . . . . . 14
- 11 Mandibules noires; pattes très peu tachées de jaune; parties latérales du 2<sup>e</sup> sternite à ponctuation fine et dense; clypéus: fig. 386 . . . . . p. 126, **spinipes**
- Mandibules tachées de jaune; pattes en grande partie jaunes; parties latérales du 2<sup>e</sup> sternite à ponctuation espacée, mais avec une petite aire à ponctuation fine et dense . . . . . 12
- 12 La striation du mésonotum est très régulière, sans points entre les stries, transversale dans la partie antérieure, longitudinale dans la partie postérieure (fig. 383); 1<sup>er</sup> tergite à longue pilosité dressée; propodéum noir . . . . . 13
- La striation du mésonotum est irrégulière, avec des points entre les stries; 1<sup>er</sup> tergite sans longs poils; propodéum généralement avec deux taches jaunes . . . . . p. 126, **lituratus**

- 13 Distance entre l'œil et la base de la mandibule aussi longue que la largeur du funicule ; clypéus avec une haute carène médiane et deux petites dents au milieu de son bord antérieur (fig. 384) . . . . . p. 126, **fossorius**  
 — Distance entre l'œil et la mandibule plus courte que la largeur du funicule ; clypéus avec une carène médiane peu surélevée, son bord antérieur sans petites dents (fig. 385) . p. 126, **cephalotes**
- 14 Le 3<sup>e</sup> article des antennes plus de 2 fois aussi long que large, nettement plus long que le 4<sup>e</sup> ; lobe médian du clypéus échancré en angle très obtus au bord antérieur (fig. 391) ; taille : 9,5–14,5 mm. . . . . p. 128, **continuus**  
 — Le 3<sup>e</sup> article des antennes moins de 2 fois aussi long que large, pas ou à peine plus long que le 4<sup>e</sup> ; lobe médian du clypéus saillant au milieu du bord antérieur (fig. 392) ; taille : 6,5–9,5 mm. . . . . 15
- 15 Tergites avec une ponctuation fine, mais très dense ; tarsi en grande partie jaunes . . . . . p. 128, **laevigatus**  
 — Tergites avec une ponctuation très fine, espacée ; tarsi bruns ou noirs . . . . . p. 128. **rubicola**

## ♂♂

- 1 Mésopleures brillantes, à ponctuation espacée et tout au plus des traces de striation ; antennes à articles faiblement déformés (fig. 405) (*Cameronitus*) . . . . . p. 127, **nigritarsus**  
 — Mésopleures entièrement striées ou réticulées . . . . . 2
- 2 Articles du funicule simples, sans échancrures ni dents (fig. 398, 400) (*Metacrabro* p. p.) . . . . . 3  
 — Un ou plusieurs articles du funicule nettement échancrés ou dentés . . . . . 4
- 3 Métatarse 2 fortement élargi (fig. 420) ; dernier article des antennes tronqué (fig. 398) ; 7<sup>e</sup> tergite avec un sillon longitudinal . . . . . p. 126, **cephalotes**  
 — Métatarse 2 non élargi ; dernier article des antennes conique (fig. 400) ; 7<sup>e</sup> tergite sans sillon longitudinal . . p. 126, **lituratus**
- 4 Trochanters 1 avec une épine ou un lobe à leur face inférieure (fig. 413, 414) (*Metacrabro* p. p.) . . . . . 5  
 — Trochanters 1 sans épine ni lobe . . . . . 6
- 5 Trochanters 1 et base des fémurs 1 avec une épine (fig. 413) ; antennes : fig. 399 . . . . . p. 126, **spinipes**  
 — Trochanters 1 avec un lobe ; fémurs 1 inermes (fig. 414) ; antennes fortement déformées (fig. 397) . . . . . p. 126, **fossorius**
- 6 Le 3<sup>e</sup> article des antennes au moins 3 fois aussi long que large, denté au milieu de sa face inférieure (fig. 401 à 404) ; le 6<sup>e</sup> article simple (*Clytochrysus*) . . . . . 7  
 — Le 3<sup>e</sup> article des antennes plus court, non denté au milieu de sa face inférieure, le 6<sup>e</sup> article souvent échancré . . . . . 10

- 7 La dent médiane du 3<sup>e</sup> article des antennes porte quelques poils courbés (fig. 401) . . . . . p. 127, **sexcinctus**  
 — La dent médiane du 3<sup>e</sup> article des antennes sans poils . . . . . 8

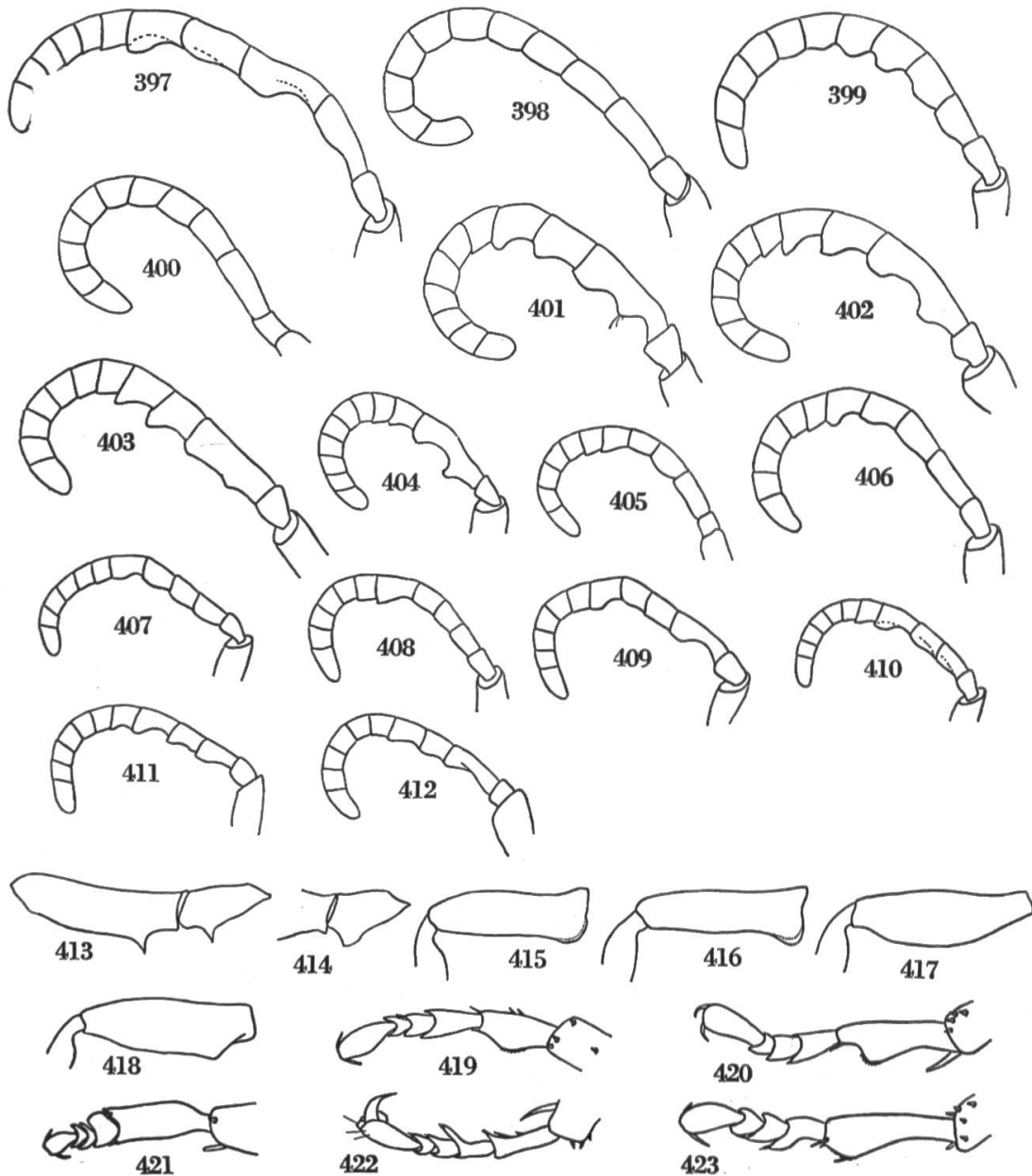


Fig. 397-423. *Ectemnius* ♂. — 397. *fossorius*, funicule. — 398. *cephalotes*, id. — 399. *spinipes*, id. — 400. *lituratus*, id. — 401. *sexcinctus*, id. — 402. *cavifrons*, id. — 403. *nigri-frons*, id. — 404. *lapidarius*, id. — 405. *nigritarsus*, id. — 406. *continuus*, id. — 407. *rubi-cola*, id. — 408. *laevigatus*, id. — 409. *dives*, id. — 410. *guttatus*, id. — 411. *nigrinus*, id. — 412. *rugifer*, id. — 413. *spinipes*, trochanter et fémur 1. — 414. *fossorius*, id. — 415. *nigri-nus*, fémur 1. — 416. *guttatus*, id. — 417. *continuus*, id. — 418. *rubicola*, id. — 419. *dives*, tarse 1. — 420. *cephalotes*, id. — 421. *guttatus*, tarse 1. — 422. *continuus*, tarse 2. — 423. *cavifrons*, id.

- 8 Face supérieure (opposée à la dent) du 3<sup>e</sup> article des antennes nettement bombée dans sa moitié terminale (fig. 404); face postérieure du propodéum séparée des faces latérales par de fortes carènes verticales . . . . . p. 127, **lapidarius**
- Face supérieure du 3<sup>e</sup> article des antennes très peu bombée (fig. 402, 403); pas de carènes verticales entre les faces latérales et postérieure du propodéum . . . . . 9
- 9 Dent médiane du 3<sup>e</sup> article des antennes fortement saillante (fig. 402) . . . . . p. 127, **cavifrons**
- Dent médiane du 3<sup>e</sup> article des antennes peu saillante, les dents terminales des articles suivants moins fortes que chez l'espèce précédente (fig. 403) . . . . . p. 127, **nigrifrons**
- 10 Mésonotum et 1<sup>er</sup> tergite à longue pilosité dressée; 3<sup>e</sup> tergite à dessins jaunes moins développés que ceux du 4<sup>e</sup>, souvent noir (*Hypocrabro*) . . . . . 11
- Mésonotum et 1<sup>er</sup> tergite à pilosité dressée courte; 3<sup>e</sup> tergite à dessins jaunes au moins aussi développés que ceux du 4<sup>e</sup> (exceptionnellement, l'abdomen peut être noir) (*Ectemnius* s. s.) 13
- 11 Le 3<sup>e</sup> article des antennes est plus de 2 fois aussi long que large (fig. 406); 1<sup>er</sup> et 2<sup>e</sup> article des tarsi 2 prolongés en pointe à l'extrémité (fig. 422) . . . . . p. 128, **continuus**
- Le 3<sup>e</sup> article des antennes est à peu près 2 fois aussi long que large (fig. 407, 408); 1<sup>er</sup> et 2<sup>e</sup> article des tarsi 2 non prolongés en pointe . . . . . 12
- 12 Face inférieure des fémurs 1 nettement anguleuse à la base (fig. 418); tarsi 2 et 3 noirs ou bruns . . . . . p. 128, **rubicola**
- Face inférieure des fémurs 1 non anguleuse à la base (voir fig. 417); tarsi 2 et 3 en grande partie jaunes . . . . . p. 128, **laevigatus**
- 13 Métatarse 2 nettement dilaté (fig. 419); antennes: fig. 409 p. 128, **dives**
- Métatarse 2 non dilaté . . . . . 14
- 14 Les deux premiers articles des tarsi 1 dilatés, translucides (fig. 421); fémurs 1 nettement dilatés en lobe à la base de leur face inférieure (fig. 415, 416) . . . . . 15
- Les deux premiers articles des tarsi 1 à peine dilatés, ferrugineux; fémurs 1 non dilatés à la base; antennes: fig. 412 p. 129, **rugifer**
- 15 Le 3<sup>e</sup> article des antennes à peine échancré en dessous (fig. 410); lobe basal des fémurs 1 plus saillant (fig. 416) . . . . . p. 129, **guttatus**
- Le 3<sup>e</sup> article des antennes nettement échancré en dessous (fig. 411); lobe basal des fémurs 1 moins saillant (fig. 415) p. 129, **nigrinus**

#### Sous-genre **Metacrabro** ASHMEAD

Les 4 espèces de notre faune appartenant à ce groupe sont moins étroitement apparentées que celles que l'on réunit dans les autres sous-genres. La taille est grande, le mésonotum plus ou moins distinctement strié, à longue pilosité dressée; le 3<sup>e</sup> article des antennes est souvent long.



**E. (Metacrabro) fossorius** (LINNÉ)

♀ : 16-21 mm., ♂ : 12-15 mm. La plus grande espèce du genre ; mésonotum nettement strié transversalement dans son tiers antérieur, longitudinalement dans ses deux tiers postérieurs, surtout chez la ♀ ; angles du collare saillants ; 3<sup>e</sup> article des antennes de la ♀ 3 fois aussi long que large ; 1<sup>er</sup> tergite à bande jaune ; bande du 3<sup>e</sup> souvent aussi celle du 4<sup>e</sup> tergite interrompues.

Plateau et vallée du Rhône ; rare. Europe, Asie centr.

**E. (Metacrabro) cephalotes** (OLIVIER) (*quadricinctus* auct.)

♀ : 12-17 mm., ♂ : 9-13,5 mm. Mésonotum strié comme chez le précédent ; angles du collare arrondis ; 3<sup>e</sup> article des antennes de la ♀ 2,5 fois aussi long que large ; 1<sup>er</sup> tergite noir ou peu taché ; les bandes des tergites médians généralement peu interrompues.

Répandu et commun dans tout le pays. Europe, Afrique sept., Amérique sept.

**E. (Metacrabro) spinipes** (F. MORAWITZ)

♀ : 14-18 mm., ♂ : 12-14,5 mm. La striation du mésonotum est longitudinale (sauf tout en avant sur les côtés) et un peu plus irrégulière que chez les précédents ; 3<sup>e</sup> article des antennes de la ♀ à peu près 2 fois aussi long que large.

Quelques individus des vallées de la rive gauche du Rhône (Stalden, Euseigne). Çà et là en Europe centr. et en Asie jusqu'au Japon.

**E. (Metacrabro) lituratus** (PANZER)

♀ : 11-14,5 mm., ♂ : 9-12 mm. La striation du mésonotum est plus irrégulière que chez les précédents ; la pilosité dressée est assez longue sur le mésonotum, mais courte sur le 1<sup>er</sup> tergite ; 3<sup>e</sup> article des antennes de la ♀ 2,5 fois aussi long que large ; le propodéum brillant, presque toujours avec des taches jaunes, les bandes des tergites généralement ininterrompues permettront de reconnaître la ♀.

Plateau ; surtout commun dans la région du Léman. Europe centr. et mérid.

Sous-genre **Clytochrysus** A. MORAWITZ

Groupe qui se distingue des autres sous-genres par le 3<sup>e</sup> article des antennes long, denté au milieu de sa face inférieure chez le ♂, l'absence de dent au bord interne des mandibules (caractère visible seulement si les mandibules sont ouvertes), la pilosité franchement dorée du clypéus de la ♀, la présence d'une fine carène longitudinale (parfois peu visible) sur le front, en avant de l'ocelle antérieur ; chez les ♂, les tibias 2 sont arqués, avec un éperon rudimentaire, les métatarses 2 plus ou moins élargis avant l'extrémité (fig. 423).

**E. (Clytochrysus) sexcinctus** (FABRICIUS) (*zonatus* PANZER)

♀ : 12-17 mm., ♂ : 10-13 mm. La striation des faces latérales du propodéum est plus forte et plus espacée que chez les deux suivants ; le 7<sup>e</sup> tergite du ♂ est anguleux sur les côtés, à la base ; les bandes des tergites sont généralement continues chez la ♀, plus souvent interrompue chez le ♂.

Répandu dans tout le pays ; surtout commun dans les Alpes, jusqu'à 1700 m. Europe centr. et mérid., Asie centr.

**E. (Clytochrysus) cavifrons** (THOMSON)

♀ : 11-16,5 mm., ♂ : 8-12 mm. La partie supérieure de la tête est plus nettement déprimée que chez les espèces voisines ; bandes des tergites médians interrompues.

Répandu, mais peu commun, jusqu'à 1300 m. dans les Alpes. Europe, Asie jusqu'au Japon.

**E. (Clytochrysus) nigrifrons** (CRESSON) (*planifrons* THOMSON)

♀ : 10-14 mm., ♂ : 7,5-12 mm. Très voisin du précédent.

Plateau ; surtout dans les Alpes, jusqu'à 2000 m. Europe, Asie jusqu'au Japon, Amérique sept.

**E. (Clytochrysus) lapidarius** (PANZER) (*chrysostomus* LEPELETIER)

♀ : 9-12 mm., ♂ : 7-11 mm. La plus petite espèce du sous-genre, qui se distingue par la plus forte sculpture du propodéum ; le métatarse 2 du ♂ est moins nettement élargi avant l'extrémité que chez les autres ; bandes des tergites médians interrompues.

Commun dans tout le pays, jusqu'à 1700 m. Europe, Asie jusqu'au Japon, Amérique sept.

Sous-genre **Cameronitus** LECLERCQ**E. (Cameronitus) nigratarsus** (HERRICH-SCHAEFER)

♀ : 10-13 mm., ♂ : 9-12 mm. La sculpture des mésopleures distingue cette espèce de toutes les autres ; ponctuation de la face supérieure de la tête peu dense, surtout chez le ♂ ; clypéus à lobe médian peu saillant ; fémurs non carénés à leur face inférieure ; 7<sup>e</sup> tergite du ♂ avec une petite aire pygidiale ponctuée ; thorax généralement noir ; chez la ♀, la bande du 2<sup>e</sup> tergite est étroitement interrompue, celles des tergites 3 et 4 le sont largement, la bande du 5<sup>e</sup> est continue.

Plateau ; peu commun. Europe, Asie centr., Japon.

Sous-genre **Hypocrabro** PERKINS

Mésnotum non strié et, comme le 1<sup>er</sup> tergite, à longue pilosité dressée ; clypéus à pilosité argentée ; le 3<sup>e</sup> article des antennes est moins de 3 fois aussi long que large, simple ; chez le ♂, le 6<sup>e</sup> article est toujours

échancré ; articles 1 et 2 des tarsi 1 du ♂ peu dilatés, ferrugineux ; le 3<sup>e</sup> tergite noir ou peu taché de jaune donne à l'abdomen un aspect caractéristique.

**E. (*Hypocrabro*) *continuus* (FABRICIUS) (*vagus* auct.)**

♀ : 9,5–14,5 mm., ♂ : 8–12 mm. Tergites à ponctuation très fine et très espacée ; fémurs 1 du ♂ non anguleux à la base (fig. 417) ; chez la ♀, la coloration la plus habituelle de l'abdomen est : 1<sup>er</sup> et 3<sup>e</sup> tergites noirs, le 2<sup>e</sup> et le 4<sup>e</sup> avec une bande jaune étroitement interrompue, le 5<sup>e</sup> avec une bande continue.

Commun dans tout le pays, jusqu'à 2000 m. Très répandu dans la région paléarctique, Amérique sept.

**E. (*Hypocrabro*) *rubicola* (DUFOUR et PERRIS) (*larvatus* WESMAEL)**

♀ : 7–9,5 mm., ♂ : 6–9,5 mm. Ponctuation des tergites comme chez l'espèce précédente ; l'aire pygidiale de la ♀ avec une gouttière plus courte, accompagnée de soies plus faibles ; le 3<sup>e</sup> tergite montre généralement des taches jaunes.

Assez commun dans tout le pays, mais ne monte guère dans les Alpes. Europe, Asie occ.

**E. (*Hypocrabro*) *laevigatus* DESTEFANI**

♀ : 6,5–9 mm., ♂ : 6–8 mm. Le lobe médian du clypéus est étroitement tronqué en avant ; 3<sup>e</sup> article des antennes plus court que chez le précédent ; la ponctuation des tergites, très fine et dense chez la ♀, est un peu plus espacée chez le ♂ ; la sculpture du propodéum, surtout chez la ♀, est plus fine que chez l'espèce précédente ; 3<sup>e</sup> tergite généralement noir.

Plateau, vallée du Rhône ; roseaux. Europe, surtout mérid., Afrique sept., Asie jusqu'en Corée.

Sous-genre ***Ectemnius* s. s.**

Groupe caractérisé par la carène transversale du haut du front (fig. 393) et la courte pilosité du mésonotum et du 1<sup>er</sup> tergite ; le 3<sup>e</sup> article des antennes est moins de 3 fois aussi long que large ; chez le ♂, plusieurs articles sont échancrés et, sauf chez *rugifer*, les deux premiers articles des tarsi 1 sont dilatés et translucides (fig. 421) ; bandes des tergites médians interrompues, les taches du 3<sup>e</sup> tergite aussi développées que celles du 4<sup>e</sup> ; l'abdomen est parfois entièrement noir.

**E. (s. s.) *dives* (LEPELETIER et BRULLÉ)**

♀ : 7–10,5 mm., ♂ : 6,5–8 mm. Partie postérieure du mésonotum et du scutellum de la ♀ brillante, ponctuée ; abdomen à ponctuation très fine et assez dense ; ♂ avec quelques épines nettes sous l'arête externe du métatarse 1.

Commun dans tout le pays jusqu'à 2000 m. Europe, Asie jusqu'au Japon, Amérique sept.

**E. (s. s.), guttatus** (VAN DER LINDEN) (*spinicollis* HERRICH-SCHAEFER)

♀ : 7-9 mm., ♂ : 6-8 mm. Partie postérieure du mésonotum et du scutellum de la ♀ striée ; abdomen à ponctuation un peu moins fine et plus nette que chez le précédent ; l'extension des dessins jaunes de l'abdomen est très variable.

Commun dans tout le pays, jusqu'à 1600 m. Europe.

**E. (s. s.) nigrinus** (HERRICH-SCHAEFER)

♀ : 7-9 mm., ♂ : 6-8 mm. Espèce très voisine de la précédente ; le parcours des carènes du collare est semblable, mais l'épine des angles est plus courte ; partie postérieure du mésonotum et du scutellum moins nettement striées, plus brillantes ; ponctuation des tergites beaucoup moins distincte ; chez le ♂, l'échancrure du 3<sup>e</sup> article des antennes ne se voit guère lorsque les antennes sont appliquées contre le front.

Assez commun dans les Alpes, jusqu'à 2000 m. ; plus rare dans le Jura et sur le Plateau. Europe, Asie or.

**E. (s. s.) rugifer** DAHLBOM

♀ : 7-9 mm., ♂ : 6-8 mm. La sculpture du thorax est beaucoup plus forte que chez les précédents ; la partie postérieure du mésonotum et le scutellum sont assez nettement striés, les mésopleures à fortes stries ; le lobe médian du clypéus est moins saillant, la tête plus fortement rétrécie derrière les yeux, les épines des angles du collare plus développées.

Quelques individus récoltés sur le Plateau. Localisé en Europe centr.

### **Lestica** BILLBERG

Ce groupe correspond aux sous-genres *Thyreus* et *Ceratocolus* de KOHL et de divers auteurs.

La taille est moyenne, l'abdomen taché de jaune ; les ocelles sont généralement en angle obtus ; tout le corps, abdomen compris, est nettement ponctué ; ♂ avec douze articles aux antennes et la tête souvent rétrécie en arrière ; aire pygidiale de la ♀ plane ou creusée en gouttière ; nervulation comme chez *Ectemnius*.

♀ : une aire pygidiale, très nettement limitée, sur le 6<sup>e</sup> tergite ; pattes I simples.

♂ : pas d'aire pygidiale ; pattes I souvent plus ou moins déformées.

Genre cosmopolite, mais surtout répandu dans la région holarctique, avec 5 espèces en Europe.

Les espèces du sous-genre *Lestica* nichent dans le sol, les *Clypeocra-*  
*bro* dans le bois ; les proies sont des Lépidoptères adultes.

♀♀

- 1 Aire pygidiale creusée en gouttière à son extrémité; clypéus avec une forte carène médiane saillante, échancrée à l'extrémité (fig. 426, 427) (*Clypeocrabro*) . . . . . **clypeata**
- Aire pygidiale plane, ponctuée, pubescente; clypéus sans forte carène (*Lestica* s. s.) . . . . . 2
- 2 Mésopleures brillantes, avec des points espacés . . . . . **subterranea**
- Mésopleures densément ponctuées chagrinées . . . . . **alata**

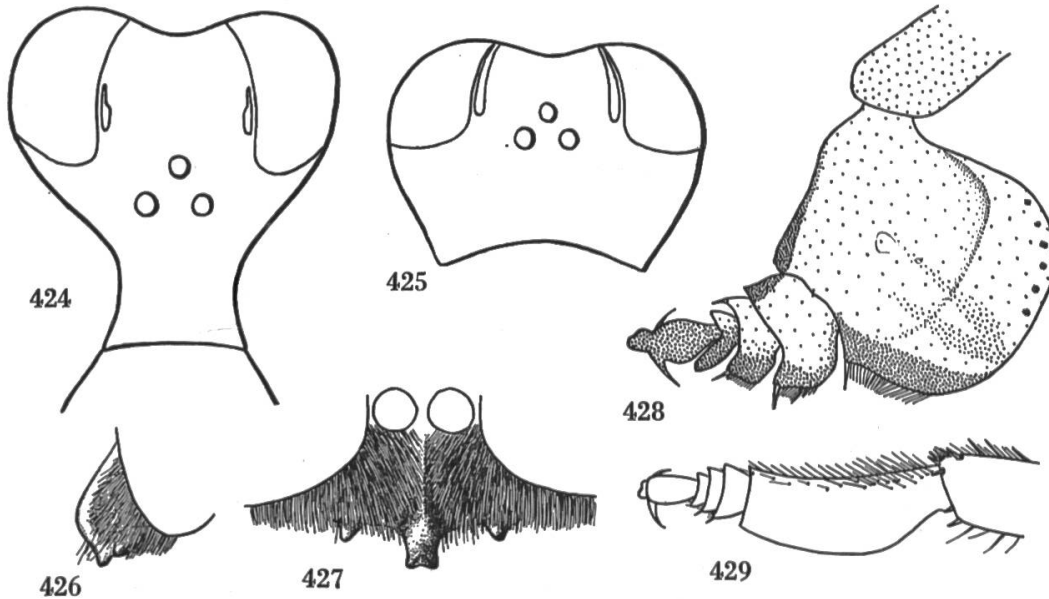


Fig. 424-429. *Lestica*. — 424. *clypeata* ♂, tête. — 425. *clypeata* ♀, id. — 426. *clypeata* ♀, clypéus de profil. — 427. *clypeata* ♀, clypéus de face. — 428. *clypeata* ♂, tarse 1. — 429. *alata* ♂, id.

♂♂

- 1 Tête très fortement rétrécie derrière les yeux (fig. 424); métatarse antérieur élargi en un bouclier plus large que long (fig. 428) (*Clypeocrabro*) . . . . . **clypeata**
- Tête beaucoup moins rétrécie; métatarse antérieur différent (*Lestica* s. s.) . . . . . 2
- 2 Métatarse antérieur élargi en un bouclier transparent plus long que large (fig. 429) . . . . . **alata**
- Métatarse antérieur étroit, à bords parallèles . . . . . **subterranea**

Sous-genre **Clypeocrabro** RICHARDS

(*Thyreus* auct.)

**L. (Clypeocrabro) clypeata** (SCHREBER)

♀: 9-12 mm., ♂: 8-11 mm. Espèce très caractéristique; le ♂, en plus de la forte dilatation des pattes 1, porte une forte épine à la base des fémurs 2 et une autre aux trochanters 3; tête de la ♀: fig. 425;

extension des dessins jaunes très variable ; l'abdomen est parfois entièrement noir, mais porte généralement des bandes jaunes sur tous les tergites.

Commun dans tout le pays, jusqu'à 2000 m. Europe, Afrique sept., Asie centr.

Sous-genre **Lestica** s. s.  
(*Ceratocolus* LEPELETIER et BRULLÉ)

**L.** (s. s.) **subterranea** (FABRICIUS)

♀ : 9–12 mm., ♂ : 8,5–11 mm. Chez le ♂, la tête n'est pas rétrécie derrière les yeux, les articles du funicule assez courts et un peu arqués en dessous ; dessins jaunes assez variables ; pattes en grande partie ferrugineuses.

Commun dans la vallée du Rhône ; sud des Alpes. Europe.

**L.** (s. s.) **alata** (PANZER)

♀ : 9–12 mm., ♂ : 8,5–11 mm. Chez le ♂, la tête est plus nettement rétrécie que chez l'espèce précédente, les articles du funicule beaucoup plus longs, non proéminents en dessous, le métatarse 2 un peu courbé ; coloration semblable à celle de l'espèce précédente, tandis que, dans d'autres régions, les dessins sont blancs ; les premiers articles du funicule sont ferrugineux.

Vallée du Rhône et sud des Alpes ; sable. Europe, Asie jusqu'au Japon.

**Crabro** FABRICIUS  
(*Thyreopus* LEPELETIER et BRULLÉ)

De taille moyenne ou grande, les espèces ont presque toujours l'abdomen taché de jaune ; ocelles en angle obtus ; les ♂ ont treize articles aux antennes, les ♀ ont une aire pygidiale aplatie ; deuxième partie du bord inférieur de la cellule cubitale de longueur à peu près égale à celle de la nervure cubitale transverse (fig. 430).

♀ : une aire pygidiale très nette sur le 6<sup>e</sup> tergite ; antennes et pattes simples.

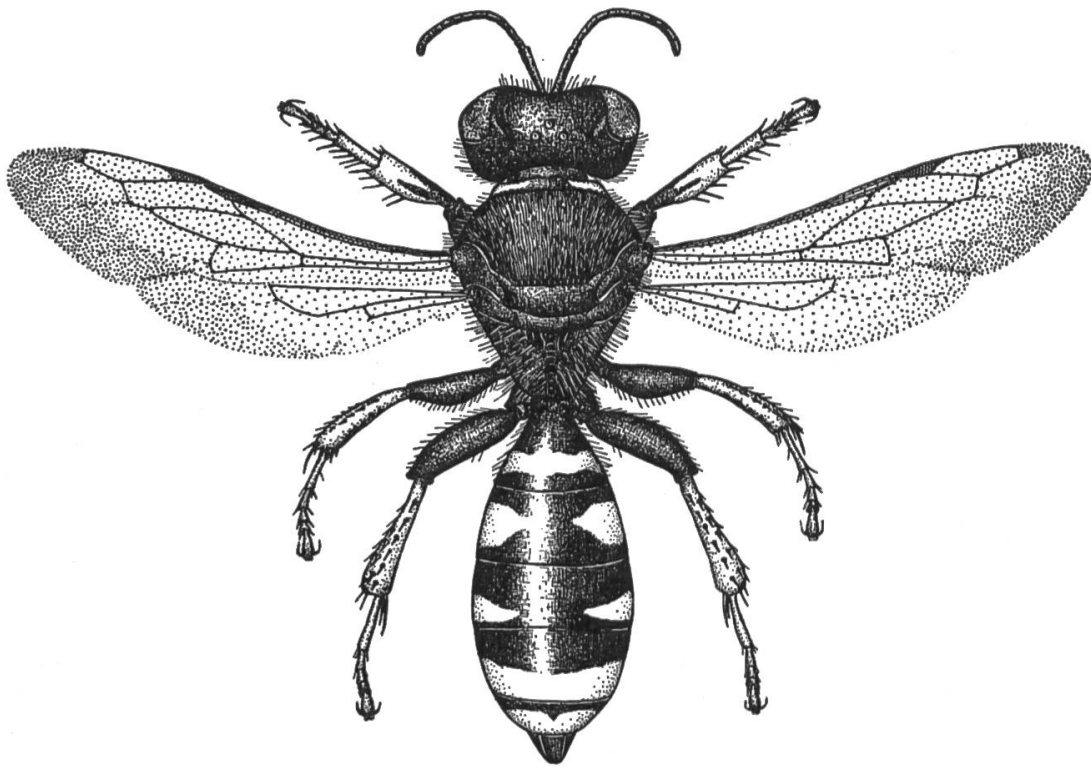
♂ : rarement une petite aire pygidiale sur le 7<sup>e</sup> tergite ; pattes antérieures et antennes généralement déformées.

Genre principalement holarctique, avec 11 espèces en Europe.

Les *Crabro* nichent dans le sol, certaines espèces dans le sable seulement ; les proies sont des Diptères brachycères.

♀♀

- 1 Partie postérieure du mésonotum striée longitudinalement ; la face postérieure du propodéum n'est séparée des faces latérales par une carène que dans sa partie inférieure . . . . . 2

Fig. 430. *Crabro cribrarius* ♀.

- Partie postérieure du mésonotum non striée ; la face postérieure du propodéum est séparée des faces latérales par une carène complète . . . . . 4
- 2 7-9 mm. ; dessins de l'abdomen d'un jaune blanchâtre ; tête et thorax généralement noirs . . . . . **alpinus**
- 10-15 mm. ; dessins de l'abdomen d'un jaune doré ; scapes ou thorax généralement tachés de jaune . . . . . 3
- 3 Scapes noirs ou avec une petite tache jaune ; thorax généralement taché de jaune au collare et au scutellum . . . . . **cribrarius**
- Scapes en grande partie jaunes ; thorax généralement noir **peltatus**
- 4 3<sup>e</sup> article des antennes à peu près de la longueur du 4<sup>e</sup> ; dessus de la tête nettement ponctué ; tête, thorax et 1<sup>er</sup> tergite généralement noirs, les tergites suivants avec des taches généralement blanchâtres . . . . . **scutellatus**
- 3<sup>e</sup> article des antennes nettement plus long que le 4<sup>e</sup> ; dessus de la tête mat ou avec une ponctuation très serrée et peu nette ; dessins de l'abdomen d'un jaune doré . . . . . 5
- 5 Tous les tergites et le thorax généralement tachés de jaune ; scapes jaunes seulement à la face antérieure . . . . . **peltarius**
- Tergites 2 et 3, parfois le 4<sup>e</sup>, avec des taches jaunes ; thorax noir ; scapes entièrement jaunes dans leur moitié supérieure **ingricus**

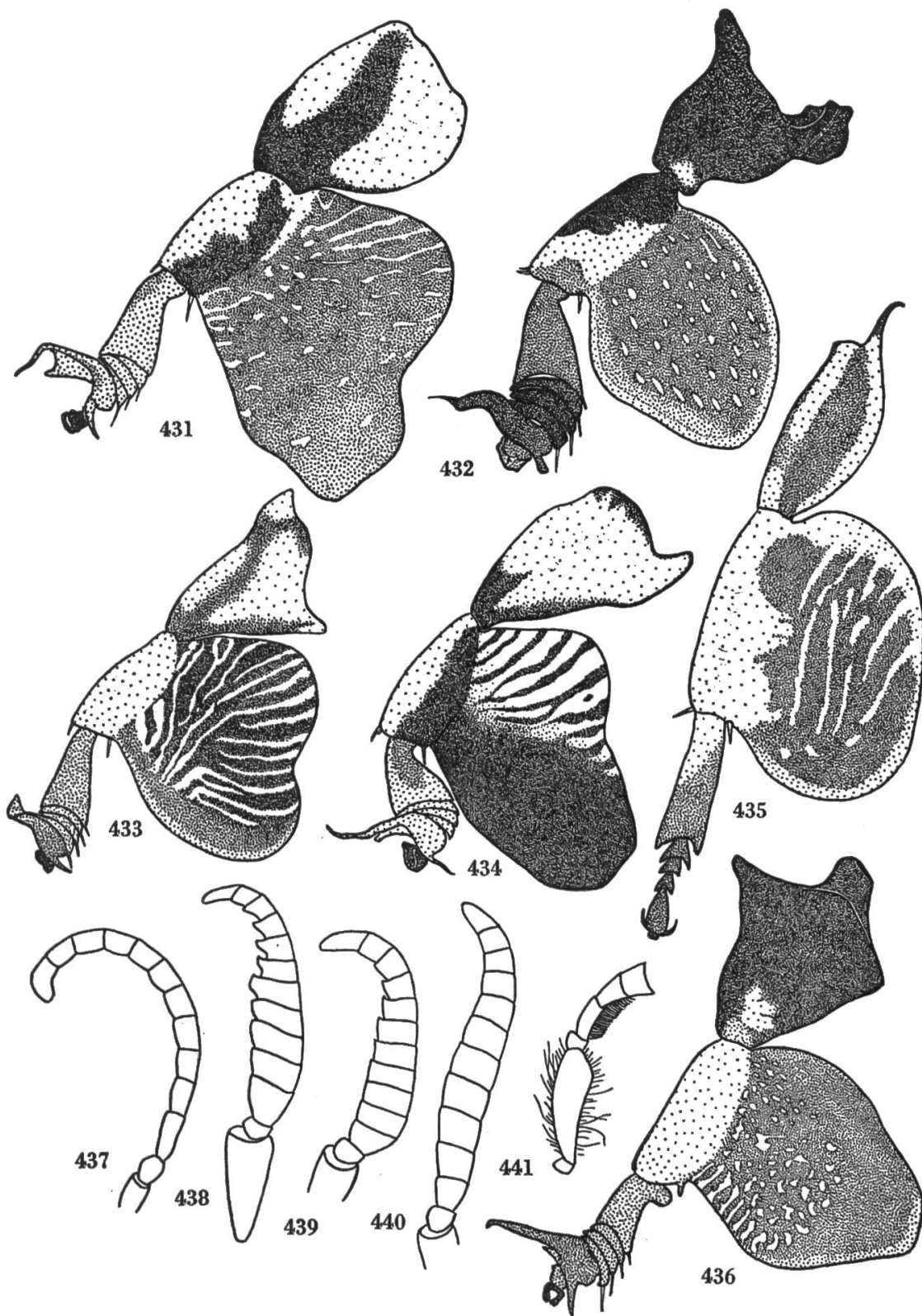


Fig. 431-441. *Crabro* ♂. — 431. *peltarius*, patte 1. — 432. *cribrarius*, id. — 433. *scutellatus*, id. — 434. *alpinus*, id. — 435. *ingricus*, id. — 436. *peltatus*, id. — 437. *ingricus*, antenne. — 438. *cribrarius*, id. — 439. *peltarius*, id. — 440. *scutellatus*, id. — 441. *cribrarius*, scape et base du funicule.



♂♂

- 1 Mésonotum très fortement strié longitudinalement, au moins dans sa moitié postérieure ; partie inférieure des mésopleures sans sillon horizontal . . . . . 2  
 — Mésonotum ponctué, tout au plus un peu strié dans sa partie tout à fait postérieure . . . . . 4
- 2 7-9 mm. ; dessins de l'abdomen d'un jaune blanchâtre ; tempes non dentées près de l'articulation des mandibules . . . **alpinus**  
 — 10-15 mm. ; dessins de l'abdomen d'un jaune doré ; tempes avec une dent près de l'articulation des mandibules . . . . . 3
- 3 Scapes jaunes sur plus de leur moitié ; fémurs 3 fortement concaves en avant dans leur moitié basale . . . . . **peltatus**  
 — Scapes tout au plus avec une petite tache jaune ; fémurs 3 normaux . . . . . **cribrarius**
- 4 Mésopleures brillantes, leur partie inférieure avec un sillon horizontal crénelé ; articles médians du funicule plus ou moins dilatés, pas plus longs que larges, le dernier article conique (fig. 439, 440) . . . . . 5  
 — Mésopleures mates, sans sillon horizontal ; articles médians du funicule non dilatés, nettement plus longs que larges, le dernier article aplati et recourbé (fig. 437) . . . . . **ingricus**
- 5 Funicule fortement dilaté, les articles médians presque 2 fois plus larges que longs, avec une frange de longs poils blancs à leur face inférieure (fig. 439) ; scapes et 1<sup>er</sup> tergite généralement tachés de jaune . . . . . **peltarius**  
 — Funicule peu dilaté, les articles médians à peu près aussi longs que larges, sans longs poils (fig. 440) ; scapes et 1<sup>er</sup> tergite noirs . . . . . **scutellatus**

### C. **cribrarius** (LINNÉ)

♀♂ : 10-15 mm. Chez cette espèce et la suivante, la face supérieure de la tête est très nettement striée avec, chez la ♀, des impressions frontales nettement limitées ; antennes du ♂ nettement dilatées, les articles 3 et 4 avec de longs poils en dessous (fig. 438, 441) ; patte antérieure du ♂ : fig. 432.

Commun dans tout le pays, jusqu'à 2000 m. Europe, Asie, jusqu'en Corée.

### C. **peltatus** FABRICIUS (*rhaeticus* AICHINGER)

♀♂ : 10-12,5 mm. Le collare est un peu déprimé sur sa face dorsale, de chaque côté de l'incision médiane ; articles 3 et 4 des antennes du ♂ sans longs poils en dessous ; pattes antérieures du ♂ : fig. 436.

Commun dans les Alpes, de 1400 à 2200 m. Montagnes d'Europe.

### C. **alpinus** IMHOF

♀♂ : 7-9 mm. La face supérieure de la tête est moins nettement striée que chez les précédents, avec des impressions frontales moins

nettes ; pilosité dressée plus courte, entièrement claire ; antennes du ♂ comme chez le précédent ; patte antérieure du ♂ : fig. 434.

Commun dans les Alpes de 1400 à 2200 m. ; rare dans le Jura. Montagnes d'Europe, surtout les Alpes.

### **C. peltarius** (SCHREBER)

♀♂ : 9-13 mm. Chez le ♂, la face supérieure de la tête est striée ; chez la ♀, elle montre une ponctuation très fine, très dense et peu nette, avec des impressions frontales grandes, mais peu nettes ; comme chez le suivant, les tempes du ♂ sont concaves dans le bas ; patte antérieure du ♂ : fig. 431.

Assez commun dans tout le pays, jusqu'à 1800 m. Europe, Asie jusqu'en Chine.

### **C. scutellatus** (SCHEVEN)

♀♂ : 7-10 mm. Chez la ♀, la face supérieure de la tête est nettement ponctuée, avec des espaces brillants entre les points ; elle n'est pas striée chez le ♂ ; patte antérieure du ♂ : fig. 433 ; chez le ♂, les dessins clairs de l'abdomen, généralement blanchâtres, peuvent être réduits ou même disparaître complètement.

Quelques individus récoltés sur le Plateau, dans la vallée du Rhône et au sud des Alpes. Europe, Asie centr.

### **C. ingricus** F. MORAWITZ

♀♂ : 9-11 mm. La face supérieure de la tête est mate, microscopiquement chagrinée avec des impressions frontales grandes et nettes chez la ♀ ; les mésopleures sont moins brillantes que chez les deux espèces précédentes, le propodéum moins fortement sculpté ; le ♂ se distingue des précédents par le 7<sup>e</sup> tergite avec une petite aire pygidiale, limitée par des carènes et par les articles des pattes antérieures moins déformés (fig. 435).

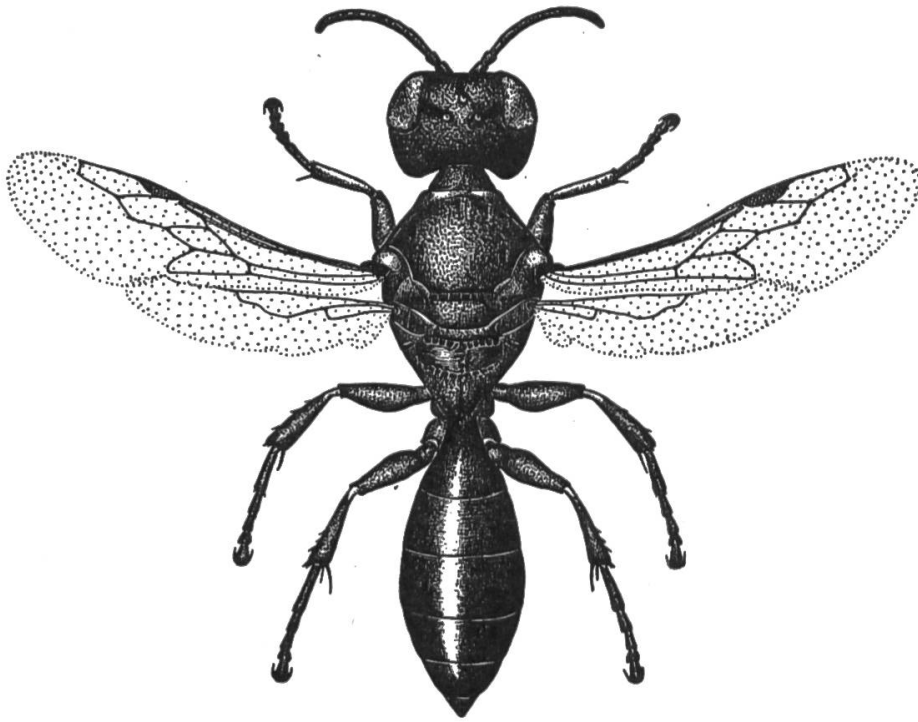
Quelques individus récoltés sur le Plateau (Genève et Berne), les derniers en 1933. Europe or.

## **Crossocerus** LEPELETIER ET BRULLÉ

Espèces de taille moyenne ou faible, à abdomen noir ou taché de jaune ; ocelles formant un triangle à peu près équilatéral ; mésopleures et propodéum souvent brillants ou peu sculptés ; première partie du bord inférieur de la cellule cubitale subégale ou au plus 2 fois plus longue que la deuxième, qui est égale à la nervure cubitale transverse ou plus longue (fig. 442).

♀ : 6<sup>e</sup> tergite avec une aire pygidiale très nette ; antennes et pattes 1 simples.

♂ : rarement une aire pygidiale sur le 7<sup>e</sup> tergite ; tibias ou métatarses 1 souvent élargis ; antennes souvent ciliées en dessous.

Fig. 442. *Crossocerus elongatulus* ♀.

Genre cosmopolite, mais surtout répandu dans la région holarctique, avec environ 35 espèces en Europe.

Les représentants des sous-genres *Hoplocrabro* et *Crossocerus* nichent dans le sol, les autres dans le bois ou dans les tiges creuses ; les proies sont surtout des Diptères, mais aussi des Hémiptères ou des Ephémères (*walkeri*).

♀♀

- |   |   |                           |
|---|---|---------------------------|
| 1 | Abdomen taché de jaune . . . . .  | 2                         |
| — | Abdomen noir . . . . .  | 5                         |
| 2 | Mandibules à pointe simple (fig. 455) ; extrémité inférieure de la carène occipitale en dent aiguë (fig. 452) ; lobe médian du clypéus à angles latéraux très aigus (fig. 443) ( <i>Hoplocrabro</i> )<br>p. 144, <b>quadrinaculatus</b> |                           |
| — | Mandibules tridentées à l'extrémité (fig. 457) ; extrémité de la carène occipitale non saillante ; clypéus différent . . . . .  | 3                         |
| 3 | Sommet de la tête non déprimé, nettement ponctué, avec des impressions frontales nettement limitées ; 1 <sup>er</sup> segment abdominal plus court que large à l'extrémité ( <i>Blepharipus</i> )<br>p. 150, <b>vagabundus</b>          |                           |
| — | Sommet de la tête déprimé, à ponctuation très espacée, avec des impressions frontales très indistinctes ; 1 <sup>er</sup> segment abdominal plus long que large à l'extrémité ( <i>Cuphopterus</i> ) . . . . .                          | 4                         |
| 4 | Tibias tachés de noir en arrière ; le sillon transversal, à la base de l'aire dorsale du propodéum, est nettement limité en arrière (fig. 468) . . . . .  | p. 150, <b>dimidiatus</b> |

- Tibias entièrement jaunes ; le sillon transversal, à la base du propodéum, n'est pas nettement limité en arrière (fig. 467)  
p. 150, **confusus**
- 5 Aire pygidiale rétrécie (ses côtés concaves) et plus ou moins creusée en gouttière en arrière (fig. 469-474) . . . . . 6
- Aire pygidiale en triangle régulier (ses côtés à peu près droits), plane, ponctuée (fig. 475, 476) (*Crossocerus* s. s.) . . . . . 20
- 6 Aire pygidiale mate, plus ou moins trilobée (fig. 469 à 471) ; mésonotum mat, montrant au plus une ponctuation très fine, espacée et peu nette ; mandibules bidentées à l'extrémité, dentées au milieu de leur bord interne (*Ablepharipus*) . . . . . 7
- Aire pygidiale en gouttière presque toujours brillante, pas nettement trilobée (fig. 472 à 474) ; mésonotum (à l'exception de *cinxius*) brillant et ponctué ; mandibules (à l'exception de *acanthophorus*) tri- ou quadridentées à l'extrémité, sans dent au milieu du bord interne (fig. 457, 458) (*Coelocrobro*) . . . . . 9
- 7 Tubercules huméraux noirs ; aire dorsale du propodéum se prolongeant en pointe sur la face postérieure (fig. 463) ; aire pygidiale : fig. 471 ; taille 6-7 mm. . . . . p. 147, **assimilis**
- Tubercules huméraux tachés de jaune ; aire dorsale du propodéum ne se prolongeant pas en pointe sur la face postérieure ; taille plus faible . . . . . 8
- 8 Aire dorsale du propodéum limitée en arrière par un sillon net ; aire pygidiale : fig. 470 ; taille 4,5-6 mm. p. 147, **podagricus**
- Pas de sillon net au bord postérieur de l'aire dorsale du propodéum ; aire pygidiale : fig. 469 ; taille 4-5 mm. p. 147, **congener**
- 9 Très petite espèce : 3,5-5 mm. ; angles latéraux du collare très aigus (fig. 454) ; mandibules bidentées p. 147, **acanthophorus**
- Espèces plus grandes : 5,5-10 mm. ; angles du collare plus ou moins arrondis ; mandibules à trois ou quatre dents à l'extrémité . . . . . 10
- 10 Clypéus et une ligne au bord interne des yeux, jaunes  
p. 148, **walkeri**
- Clypéus et bord interne des yeux noirs . . . . . 11
- 11 Aire dorsale du propodéum limitée en arrière par un sillon net, généralement crénelé (s'effaçant parfois en avant sur les côtés) . . . . . 12
- Aire dorsale du propodéum non limitée en arrière par un sillon (sa limite postérieure peut être indiquée par une différence de sculpture) . . . . . 15
- 12 Bord antérieur du clypéus avec deux dents aiguës (fig. 449) ; arête externe des métatarses I avec une rangée d'épines nettes (fig. 459) . . . . . p. 148, **ambiguus**
- Bord antérieur du clypéus jamais bidenté ; arête externe des métatarses I au plus avec quelques épines peu nettes . . . . . 13
- 13 Scapes avec une carène tout le long de leur face antérieure ; le sillon entourant l'aire dorsale du propodéum s'efface en avant sur les côtés ; une pointe aux mésopleures en avant des hanches 2  
p. 148, **heydeni**

- Scapes non carénés le long de leur face antérieure ; aire dorsale du propodéum entièrement entourée par un sillon . . . . . 14
- 14 Une pointe aux mésopleures, en avant des hanches 2 ; ponctuation du mésonotum peu dense, les espaces nettement plus grands que les points . . . . . p. 148, **leucostoma**

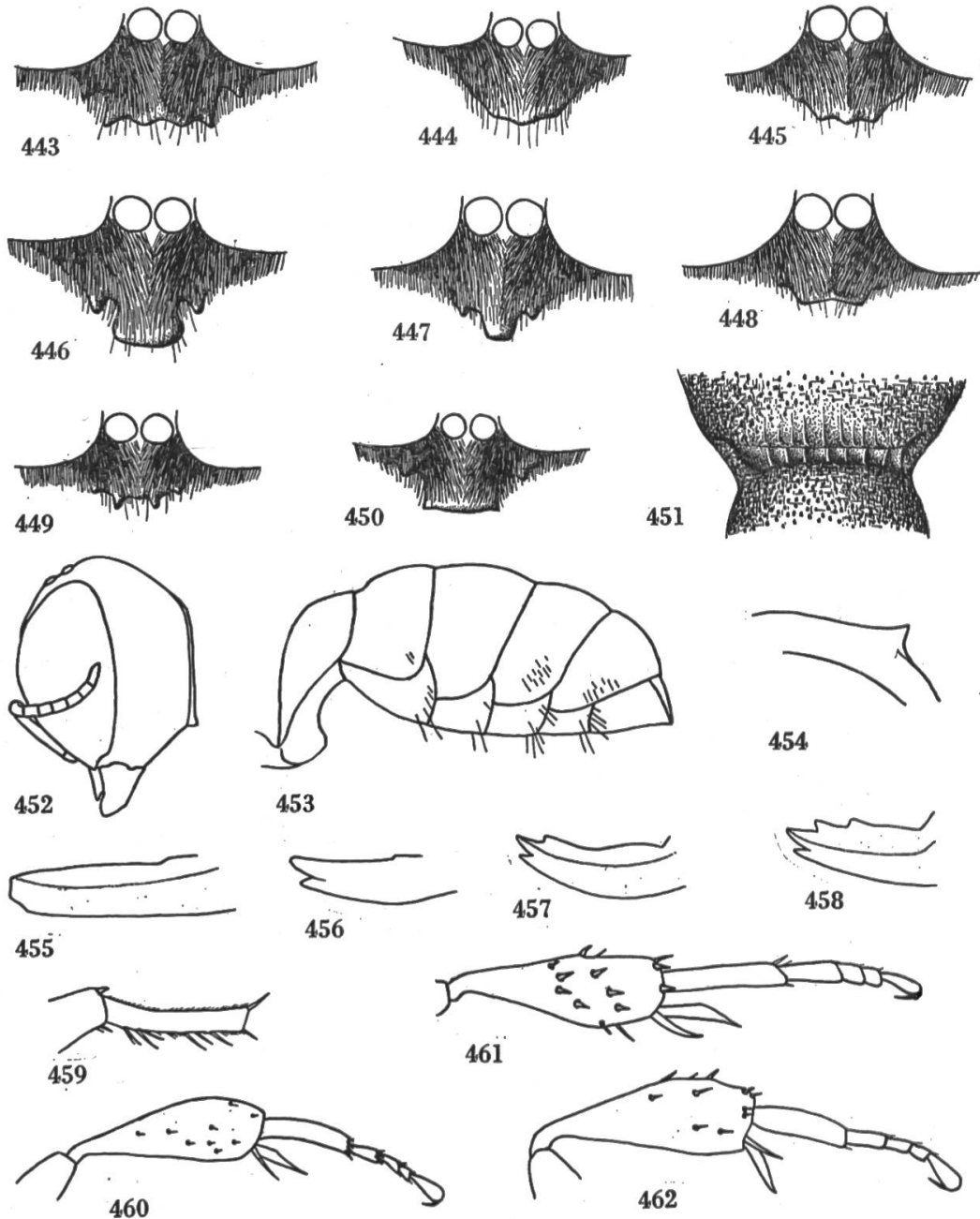


Fig. 443-462. *Crossocerus* ♀. — 443. *quadrimaculatus*, clypéus. — 444. *cestratus*, id. — 445. *pubescens*, id. — 446. *cinxius*, id. — 447. *capitosus*, id. — 448. *leucostomoides*, id. — 449. *ambiguus*, id. — 450. *palmipes*, id. — 451. *elongatulus*, mésonotum et scutellum. — 452. *quadrimaculatus*, tête. — 453. *acanthophorus*, abdomen. — 454. *acanthophorus*, angle du collare. — 455. *quadrimaculatus*, mandibule. — 456. *varius*, id. — 457. *barbipes*, id. — 458. *cinxius*, id. — 459. *ambiguus*, métatarse 1. — 460. *cinxius*, patte 3. — 461. *pubescens*, id. — 462. *styrius*, id. —

- Pas de pointe aux mésopleures ; ponctuation du mésonotum dense, les espaces à peine plus grands que les points  
p. 148, **barbipes**
- 15 Tibias 3 avec un anneau jaune à la base, fortement renflés à l'extrémité et ne portant sur leur face externe que de très fines épines, qui ne dépassent pas la pilosité (fig. 460) ; pas de pointe aux mésopleures . . . . . 16
- Tibias 3 souvent sans anneau jaune, portant des épines plus longues sur leur face externe (fig. 461, 462) . . . . . 17
- 16 Tibias 1 entièrement noirs ; lobe médian du clypéus en forme de plaque assez large, tronquée en avant (fig. 446)  
p. 149, **cinxius**
- Tibias 1 jaunes sur leur face antérieure ; lobe médian du clypéus beaucoup plus étroit (fig. 447) . . . . . p. 149, **capitosus**
- 17 Pas de pointe aux mésopleures en avant des hanches 2 ; une fine ligne longitudinale enfoncée entre les ocelles postérieurs ; métatarse 3 un peu épaissi (fig. 462) . . . . . p. 149, **styrius**
- Une pointe aux mésopleures en avant des hanches 2 ; pas de ligne enfoncée entre les ocelles ; métatarse 3 normal (fig. 461) 18
- 18 Dessus de la tête et mésonotum à pilosité courte ; lobe médian du clypéus faiblement arqué en avant (fig. 444) . p. 149, **cetratus**
- Dessus de la tête et mésonotum avec de longs poils ; clypéus différent . . . . . 19
- 19 Lobe médian du clypéus obtusément tridenté en avant (fig. 445) ; front peu déprimé en avant de l'ocelle antérieur . p. 149, **pubescens**

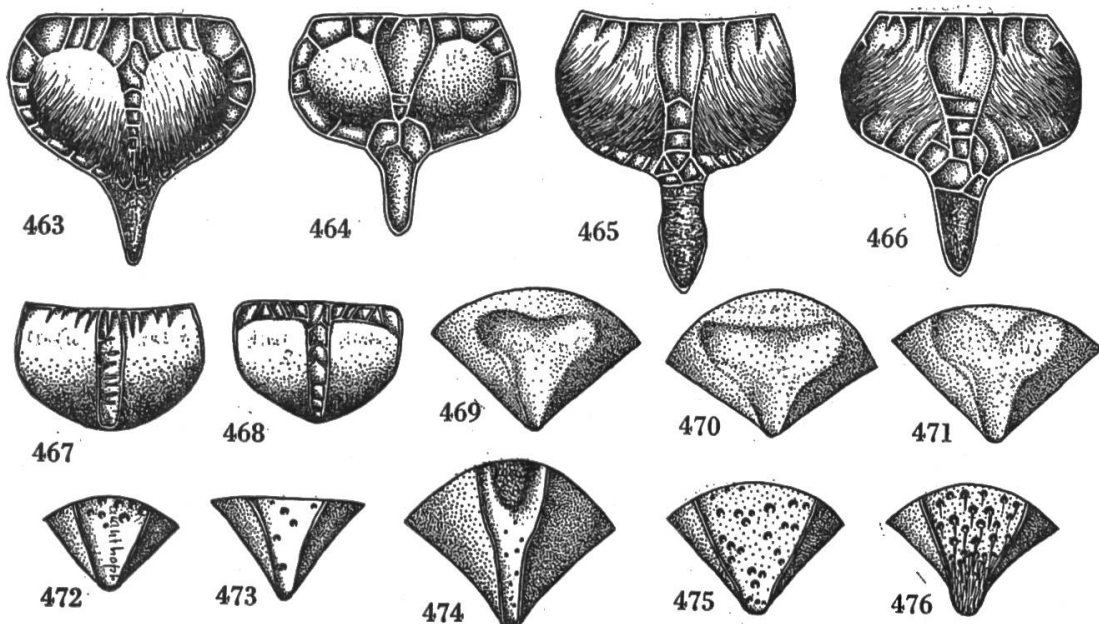


Fig. 463-476. *Crossocerus* ♀. — 463. *assimilis*, aire dorsale du propodéum. — 464. *ovalis*, id. — 465. *varius*, id. — 466. *tarsatus*, id. — 467. *confusus*, id. — 468. *dimidiatus*, id. — 469. *congener*, aire pygidiale. — 470. *podagricus*, id. — 471. *assimilis*, id. — 472. *acanthophorus*, id. — 473. *ambiguus*, id. — 474. *cetratus*, id. — 475. *elongatulus*, id. — 476. *tarsatus*, id.

- Lobe médian du clypéus échancré en angle très obtus (fig. 448) ; front nettement déprimé en avant de l'ocelle antérieur . . . . . p. 149, **leucostomoides**
- 20 Une pointe aux mésopleures, en avant des hanches 2 ; aire pygidiale à ponctuation généralement dense, pubescente dans sa partie postérieure (fig. 476) . . . . . 21
- Pas de pointe aux mésopleures ; aire pygidiale à ponctuation plus ou moins espacée, glabre (fig. 475) . . . . . 24
- 21 Clypéus plus ou moins jaune, largement tronqué en avant (fig. 450) ; mandibules en grande partie jaunes . p. 145, **palmipes**
- Clypéus noir, de forme différente ; mandibules noires ou peu éclaircies . . . . . 22
- 22 Aire dorsale du propodéum lisse et brillante, entièrement entourée d'un sillon profond et net, divisée par un sillon médian large (fig. 464) ; faces latérales du propodéum entièrement lisses et brillantes ; aire pygidiale généralement ferrugineuse dans sa partie terminale . . . . . p. 145, **ovalis**
- Aire dorsale du propodéum finement striée, le sillon transversal de sa base pas nettement limité en arrière, les autres sillons moins larges ; faces latérales du propodéum brillantes, mais en partie finement striées ; aire pygidiale rarement ferrugineuse à l'extrémité . . . . . 23
- 23 Grand éperon du tibia 1 noir ou brun ; sillon médian de l'aire dorsale du propodéum plus large (fig. 466) ; ponctuation de la partie antérieure du mésonotum plus espacée . p. 145, **tarsatus**
- Grand éperon du tibia 1 jaune ; sillon médian de l'aire dorsale du propodéum plus étroit (fig. 465) ; ponctuation de la partie antérieure de mésonotum plus dense . . . . . p. 145, **varius**
- 24 Bord postérieur du mésonotum avec de courtes stries longitudinales (fig. 451) ; en avant de l'ocelle antérieur un sillon assez profondément enfoncé ; taille : 5-6,5 mm. . . . . 25
- Bord postérieur du mésonotum sans stries longitudinales ; en avant de l'ocelle antérieur une fine ligne, à peine enfoncée ; taille : 4-5 mm. . . . . 27
- 25 Face externe des tibias 2 en grande partie jaune ; collare et scutellum presque toujours tachés de jaune ; aire pygidiale ferrugineuse à l'extrémité . . . . . p. 145, **wesmaeli**
- Tibias 2 généralement noirs ou avec un petit anneau jaune à la base ; scutellum presque toujours noir ; collare généralement noir ou avec deux petites taches blanchâtres ; aire pygidiale noire . . . . . 26
- 26 Les impressions frontales, brillantes, entre les ocelles postérieurs et le bord de l'œil, sont légèrement surélevées . p. 146, **elongatulus**
- Les impressions frontales sont au même niveau que les régions avoisinantes du dessus de la tête ; mésonotum plus mat, à ponctuation plus dense . . . . . p. 146, **distinguendus**
- 27 Ponctuation des mésopleures beaucoup plus espacée que celle du mésonotum . . . . . p. 146, **exiguus**
- Ponctuation des mésopleures presque aussi dense que celle du mésonotum . . . . . p. 146, **denticrus**

♂♂

- |    |  |                              |
|----|--|------------------------------|
| 1  | Abdomen taché de jaune . . . . .   | 2                            |
| —  | Abdomen noir . . . . .   | 5                            |
| 2  | Carènes occipitales se terminant en dent aiguë (fig. 485) ; dernier article des antennes tronqué (fig. 492) . p. 144, <b>quadrinaculatus</b>                   |                              |
| —  | Carènes occipitales ne se terminant pas en dent aiguë ; dernier article des antennes conique . . . . .   | 3                            |
| 3  | Fémurs 1 avec une dent à leur tiers basal (fig. 495)<br>p. 150, <b>vagabundus</b>  |                              |
| —  | Fémur 1 aplati, mais sans dent . . . . .   | 4                            |
| 4  | Tibias 3 entièrement jaunes et sans épines sur leur face externe ; tibias 2 avec une longue épine à l'extrémité (fig. 496)<br>p. 150, <b>confusus</b>          |                              |
| —  | Tibias 3 plus ou moins noirs, avec des épines sur leur face externe ; tibias 2 seulement avec de courtes épines à l'extrémité (fig. 497) . . . . .             | p. 150, <b>dimidiatus</b>    |
| 5  | Métatarses 1 (parfois aussi les tibias) plus ou moins élargis en bouclier ; s'ils le sont faiblement, ils sont noirs et blancs (fig. 500 à 505) . . . . .      | 6                            |
| —  | Métatarses 1 cylindriques ou légèrement aplatis, mais à bords parallèles, de coloration uniforme . . . . .   | 11                           |
| 6  | Tibias 1 fortement élargis en bouclier (fig. 504, 505) . . . . .   | 7                            |
| —  | Tibias 1 moins élargis (fig. 500 à 503) . . . . .  | 8                            |
| 7  | Bouclier des tibias 1 très développé, en grande partie jaune (fig. 505), clypéus jaune . . . . .   | p. 145, <b>palmipes</b>      |
| —  | Bouclier des tibias 1 moins développé, en grande partie noir (fig. 504) . . . . .  | p. 149, <b>cetratus</b>      |
| 8  | Métatarses 1 fortement dilatés (fig. 502, 503) . . . . .   | 9                            |
| —  | Métatarses 1 faiblement dilatés (fig. 500, 501) . . . . .  | 10                           |
| 9  | Pattes 1 : fig. 503 ; carènes temporales courtes et se terminant en pointe nette . . . . .   | p. 148, <b>ambiguus</b>      |
| —  | Pattes 1 : fig. 502 ; carènes temporales sans pointe terminale<br>p. 145, <b>tarsatus</b>  |                              |
| 10 | Métatarses 1 noirs avec une tache jaune à l'extrémité (fig. 500) ; thorax noir . . . . .   | p. 148, <b>leucostoma</b>    |
| —  | Métatarses 1 jaunes, avec une tache noire au milieu (fig. 501) ; thorax presque toujours taché de jaune . . . . .  | p. 145, <b>varius</b>        |
| 11 | Très petite espèce : 3,5–4 mm. ; angles du collare très aigus (fig. 491) ; 7 <sup>e</sup> tergite très petit (fig. 486) . . . . .                              | p. 147, <b>acanthophorus</b> |
| —  | Espèces généralement plus grandes ; angles du collare jamais aussi aigus ; 7 <sup>e</sup> tergite plus développé . . . . .                                     | 12                           |
| 12 | Tibias 2 très courts et largement tronqués à l'extrémité, qui ne porte pas d'éperons (fig. 507) ; métatarses 2 légèrement courbés<br>p. 147, <b>podagricus</b> |                              |
| —  | Tibias 2 plus allongés, pas tronqués à l'extrémité qui porte généralement un éperon plus ou moins développé. . . . .   | 13                           |



- 13 Dernier article des antennes tronqué (fig. 492, 493) ; aire dorsale du propodéum limitée en arrière par un sillon . . . . . 14  
 — Dernier article des antennes conique ou arrondi à l'extrémité ; aire dorsale du propodéum parfois sans sillon en arrière . . . . . 18
- 14 Carènes temporales se terminant en dent aiguë (fig. 485) ; clypéus : fig. 477 . . . . . p. 144, **quadrifaculatus**  
 — Carènes temporales ne se terminant pas par une dent aiguë . . . . . 15
- 15 Métatarses 1 faiblement dilatés, noirs, avec une tache jaune à l'extrémité (fig. 500) . . . . . p. 148, **leucostoma**  
 — Métatarses 1 pas dilatés, jaunâtres ou bruns . . . . . 16
- 16 Fémurs 1 avec une ligne longitudinale jaune très nette sur leur face supérieure ; partie médiane du clypéus peu proéminente (fig. 482) . . . . . p. 146, **distinguendus**  
 — Fémurs 1 noirs ou avec une ligne ferrugineuse ; partie médiane du clypéus nettement proéminente . . . . . 17
- 17 Pas de pointe aux mésopleures, en avant des hanches 2 ; fémurs et tibias 1 avec une très longue pilosité (fig. 506) p. 148, **barbipes**  
 — Une pointe aux mésopleures, en avant des hanches 2 ; pas de pilosité particulière aux pattes 1 . . . . . p. 148, **heydeni**
- 18 Sommet de la tête et mésonotum à longue pilosité dressée ; 7<sup>e</sup> sternite avec un tubercule . . . . . 19  
 — Sommet de la tête et mésonotum à pilosité très courte, 7<sup>e</sup> sternite simple . . . . . 20
- 19 Lobe médian du clypéus terminé de chaque côté par une dent saillante et relevée (fig. 481) . . . . . p. 149, **leucostomoides**  
 — Lobe médian du clypéus saillant au milieu (fig. 478) p. 149, **pubescens**
- 20 Clypéus entièrement ou en grande partie jaune . . . . . 21  
 — Clypéus noir . . . . . 22
- 21 Antennes simples, clypéus à bord antérieur anguleux au milieu (fig. 484) . . . . . p. 148, **walkeri**  
 — Le 7<sup>e</sup> article des antennes prolongé en pointe en arrière (fig. 494) ; clypéus non anguleux . . . . . p. 146, **exiguus**
- 22 Face inférieure de la tête, base des pattes 1 et mésosternum avec une longue pilosité d'aspect laineux ; aire dorsale du propodéum grande et nettement limitée, se terminant en pointe sur la face postérieure (fig. 463) . . . . . p. 147, **assimilis**  
 — Face inférieure de la tête sans longue pilosité laineuse ; aire dorsale du propodéum différente . . . . . 23
- 23 Aire dorsale du propodéum nettement limitée en arrière par un sillon crénelé ; mésopleures à ponctuation nette et généralement assez dense ; 7<sup>e</sup> tergite nettement ponctué . . . . . 24  
 — Aire dorsale du propodéum non limitée en arrière par un sillon crénelé ; mésopleures à ponctuation indistincte ou très fine et espacée ; 7<sup>e</sup> tergite sans ponctuation nette . . . . . 29
- 24 Face inférieure des fémurs 2 avec une dent près de la base ; 4-5 mm. . . . . p. 146, **denticrus**  
 — Fémurs 2 sans dent ; taille souvent plus grande . . . . . 25

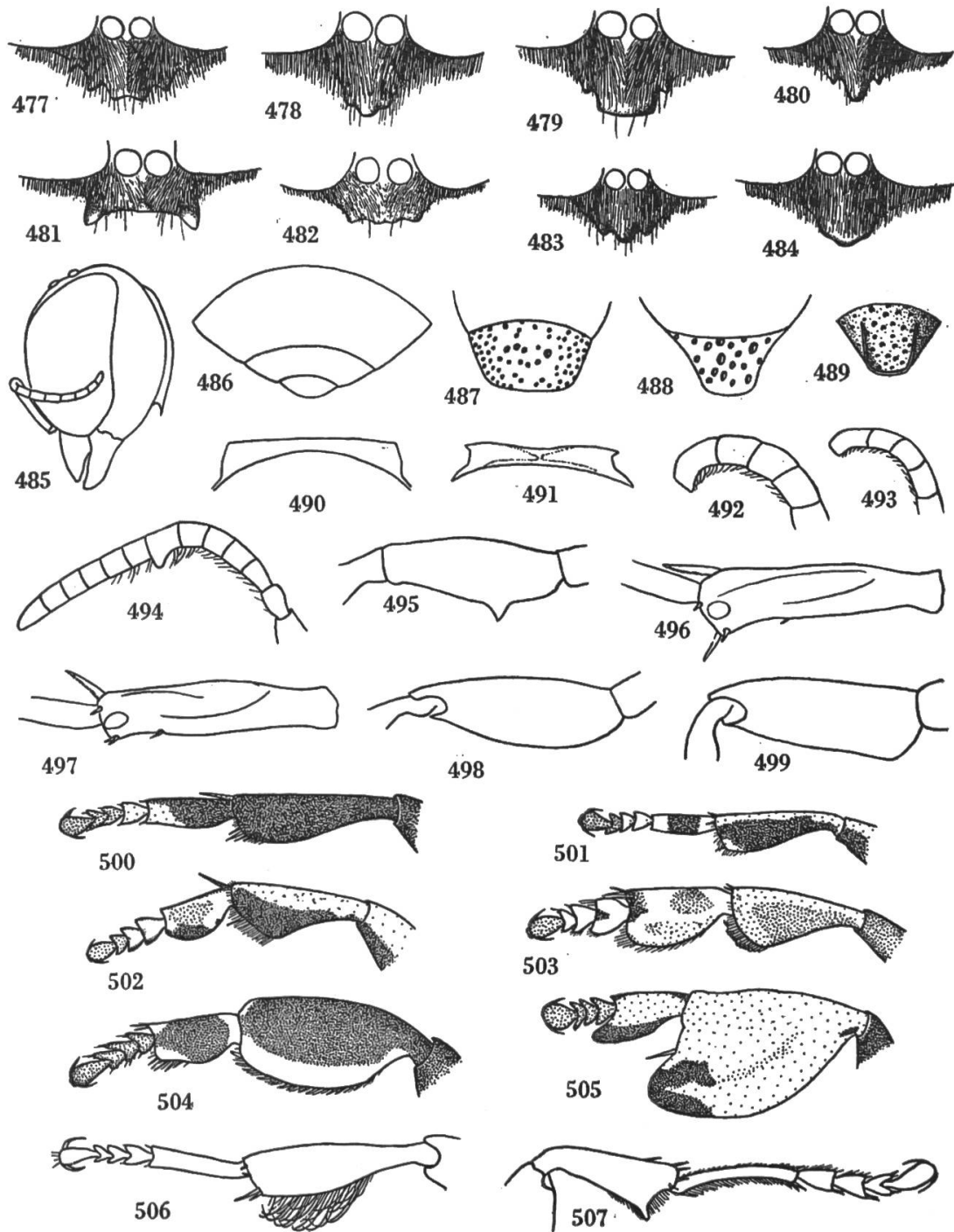


Fig. 477-507. *Crossocerus* ♂. — 477. *quadrimaculatus*, clypéus. — 478. *pubescens*, id. — 479. *cinxius*, id. — 480. *capitosus*, id. — 481. *leucostomoides*, id. — 482. *distinguendus*, id. — 483. *styrius*, id. — 484. *walkeri*, id. — 485. *quadrimaculatus*, tête. — 486. *acanthophorus*, derniers tergites. — 487. *elongatulus*, 7<sup>e</sup> tergite. — 488. *wesmaeli*, id. — 489. *ovalis*, id. — 490. *elongatulus*, collare. — 491. *acanthophorus*, id. — 492. *quadrimaculatus*, antenne. — 493. *distinguendus*, id. — 494. *exiguus*, id. — 495. *vagabundus*, fémur 1. — 496. *confusus*, tibia 1. — 497. *dimidiatus*, id. — 498. *distinguendus*, fémur 2. — 499. *elongatulus*, id. — 500. *leucostoma*, patte 1. — 501. *varius*, id. — 502. *tarsatus*, id. — 503. *ambiguus*, id. — 504. *cetratus*, id. — 505. *palmipes*, id. — 506. *barbipes*, id. — 507. *podagricus*, patte 2.

- 25 7<sup>e</sup> tergite avec une aire pygidiale limitée par des carènes (fig. 489) 26  
 — 7<sup>e</sup> tergite sans trace d'aire pygidiale . . . . . 27
- 26 Métatarses antérieurs un peu dilatés (fig. 501) . p. 145, **varius**  
 — Métatarses antérieurs pas dilatés . . . . . p. 145, **ovalis**
- 27 Collare à angles latéraux nets (fig. 490) ; fémurs 2 brusquement  
 élargis à la base (fig. 499) ; 7<sup>e</sup> tergite largement tronqué (fig. 487)  
 p. 146, **elongatulus**  
 — Collare à angles latéraux arrondis ; fémurs 2 s'élargissant régu-  
 lièrement à la base ; 7<sup>e</sup> tergite arrondi (fig. 488) . . . . . 28
- 28 7<sup>e</sup> tergite brillant et fortement ponctué, généralement ferrugineux  
 à l'extrémité (fig. 488) ; fémurs 1 sans ligne jaune sur leur face  
 dorsale, sans pilosité particulière sur leur face ventrale  
 p. 145, **wesmaeli**  
 — 7<sup>e</sup> tergite mat, finement ponctué ; fémurs 1 avec une ligne jaune  
 le long de leur face dorsale, avec de longs poils sur la face ven-  
 trale . . . . . p. 146, **distinguendus**
- 29 Lobe médian du clypéus court et largement tronqué ; tro-  
 chanters 1 à longue pilosité ; thorax entièrement mat ; 4-5 mm.  
 p. 147, **congener**  
 — Lobe médian du clypéus plus ou moins proéminent en lame ou  
 en pointe (fig. 479, 480, 483) ; trochanters 1 à courte pilosité ;  
 mésonotum ou mésopleures souvent brillants ; taille plus grande 30
- 30 Lobe médian du clypéus en forme de lame tronquée à l'extré-  
 mité (fig. 479) . . . . . p. 149, **cinxius**  
 — Lobe médian du clypéus pointu au milieu (fig. 480, 483) . . . 31
- 31 Lobe médian du clypéus avec des dents latérales presque aussi  
 longues que la dent médiane (fig. 483) ; mésonotum brillant,  
 à ponctuation nette et assez forte . . . . . p. 149, **styrius**  
 — Lobe médian du clypéus avec des dents latérales nettement plus  
 courtes que la dent médiane (fig. 480) ; mésonotum à ponctuation  
 très fine . . . . . p. 149, **capitosus**

### Sous-genre **Hoplocrabro** THOMSON

Mandibules simples à l'extrémité chez la ♀, bifides chez le ♂, sans dent au bord interne ; aire pygidiale de la ♀ plane et ponctuée, le 7<sup>e</sup> tergite du ♂ nettement ponctué ; les carènes occipitales se terminent par une forte dent ; aire dorsale du propodéum entourée de sillons. Abdomen généralement taché de jaune.

#### **C. (Hoplocrabro) quadrimaculatus** (FABRICIUS)

♀ : 7-10 mm., ♂ : 5-8 mm. L'extension des dessins jaunes est très variable ; chez la ♀, l'abdomen a souvent deux taches latérales jaunes sur les tergites 2 et 3 et une tache médiane sur le 5<sup>e</sup> ; chez le ♂, les dessins jaunes peuvent être réduits et l'abdomen et le thorax sont assez souvent noirs (f. *levipes* VAN DER LINDEN).

Commun dans tout le pays, jusqu'à 1600 m. Europe, Asie centr.

Sous-genre **Crossocerus** s. s.

Mandibules bifides à l'extrémité chez les deux sexes, sans dent au bord interne ; aire pygidiale de la ♀ plane et ponctuée, le 7<sup>e</sup> tergite du ♂ nettement ponctué, plus fortement que le 6<sup>e</sup> ; aire dorsale du propodéum assez petite, entourée de sillons ; tête et thorax brillants, nettement ponctués. Abdomen noir.

**C. (s. s.) tarsatus** (SHUCKARD) (*palmipes* auct.)

♀ : 5–6 mm., ♂ : 4–5 mm. Cette espèce et les deux suivantes forment un groupe caractérisé par les mésopleures munies d'une petite pointe en avant des hanches 2, l'aire pygidiale de la ♀ velue à l'extrémité, le 7<sup>e</sup> tergite du ♂ avec une petite aire pygidiale limitée par des carènes ; thorax noir ou avec deux taches au collare et, chez le ♂, une tache au scutellum.

Plateau, vallée du Rhône et Alpes jusqu'à 1600 m. ; peu commun. Europe, Afrique sept., Japon.

**C. (s. s.) varius** LEPELETIER et BRULLÉ

♀ : 5,5–6,5 mm., ♂ : 4,5–5,5 mm. Le ♂ se distingue facilement du précédent, la ♀, par contre, beaucoup plus difficilement ; elle est généralement tachée de jaune au collare et souvent au scutellum.

Commun dans tout le pays, jusqu'à 1800 m. Europe, Afrique sept., Japon.

**C. (s. s.) ovalis** LEPELETIER et BRULLÉ (*anxius* WESMAEL)

♀ : 4,5–6 mm., ♂ : 4–4,5 mm. Le ♂ se sépare facilement des précédents par ses métatarses 1 simples ; la ♀ est plus difficile à reconnaître sans matériel de comparaison ; elle est plus petite, son thorax est souvent noir, ses tibias 2 entièrement jaunes à la face antérieure, tandis qu'ils sont souvent noirs au milieu chez les précédents.

Plateau ; peu commun. Europe.

**C. (s. s.) palmipes** (LINNÉ) (*palmarius* SCHREBER)

♀ : 6–7 mm., ♂ : 5–6,5 mm. Comme chez les trois précédents, les mésopleures ont une pointe et l'aire pygidiale de la ♀ est velue à l'extrémité, mais le 7<sup>e</sup> tergite du ♂ est large et sans aire pygidiale ; chez la ♀, le thorax est taché de jaune au collare et généralement au scutellum et au postscutellum ; chez le ♂, la coloration jaune est plus développée encore.

Un seul individu de Sierre. Europe, Asie centr. et or.

**C. (s. s.) wesmaeli** (VAN DER LINDEN)

♀ : 5–6 mm., ♂ : 4–5,5 mm. Cette espèce et les quatre suivantes sont caractérisées par l'absence de pointe aux mésopleures, l'aire pygidiale de la ♀ glabre, le 7<sup>e</sup> tergite du ♂ sans aire pygidiale, les pattes 1 du ♂ simples ; chez *wesmaeli*, le mésonotum est plus brillant, avec

une ponctuation plus espacée que chez les deux suivants ; les angles du collare sont plus arrondis, les pattes 1 du ♂ sans longue pilosité.

Plateau, vallée du Rhône, sud des Alpes ; peu commun. Europe, Asie centr. Japon.

**C. (s. s.) elongatulus** (VAN DER LINDEN)

♀ : 5-6,5 mm., ♂ : 5-6 mm. Le thorax et les pattes sont moins tachées de jaune que chez le précédent ; mandibules de couleur variable ; aire dorsale du propodéum lisse comme chez *wesmaeli* ou plus ou moins striée ; chez le ♂, la face inférieure des fémurs et le mésosternum portent, comme chez le suivant, une pilosité assez longue.

Commun dans tout le pays, jusqu'à 2000 m. Europe, Afrique sept., Asie centr.

**C. (s. s.) distinguendus** A. MORAWITZ

♀ : 5-6,5 mm., ♂ : 4-5,5 mm. Le ♂ se distingue facilement du précédent à la forme du collare, des fémurs 2 (fig. 498) et du dernier tergite, à son dernier article des antennes un peu tronqué, la strie jaune de la face supérieure des fémurs 1 ; aucun des caractères donnés pour séparer les ♀ ne m'a paru tout à fait constant à part ceux, difficilement appréciables, indiqués dans la table.

Dans tout le pays, jusqu'à 1700 m., mais peu commun. Europe centr.

**C. (s. s.) exiguus** (VAN DER LINDEN)

♀ : 4-5 mm., ♂ : 3,5-4 mm. Une petite espèce, dont le ♂ se reconnaît aisément à son clypéus jaune et la structure de ses antennes.

Plateau, vallée du Rhône, sud des Alpes ; assez commun. Europe centr. et sept.

**C. (s. s.) denticrus** HERRICH-SCHAEFER

♀ : 4-5 mm., ♂ : 3,5-4 mm. Le ♂ est bien caractérisé par ses fémurs 2 ; la ♀ se distingue encore de la précédente par le sillon médian de la face postérieure du propodéum plus fortement excavé.

Un seul individu, de Berne. Localisé en Europe, Asie or.

**C. (s. s.) denticoxa** BISCHOFF

Le ♂, par la structure de ses antennes, est très voisin d'*exiguus* ; il s'en distingue entre autre par ses hanches 2 étirées en une forte pointe ; chez la ♀, la partie antérieure du clypéus est jaune.

Allemagne mérid., Moravie.

### Sous-genre **Ablepharipus** PERKINS

Mandibules bifides à l'extrémité chez les deux sexes, avec une dent plus ou moins développée au milieu du bord interne chez la ♀ ; aire pygidiale de la ♀ creusée en gouttière dans sa partie postérieure, nettement bifurquée en avant, ce qui lui donne plus ou moins la forme

d'un trèfle ; 7<sup>e</sup> tergite du ♂ sans ponctuation nette ; sculpture très fine, le mésonotum jamais nettement ponctué sur fond brillant. Abdomen noir.

**C. (Ablepharipus) podagricus** (VAN DER LINDEN)

♀♂ : 4,5–6 mm. Le sillon qui entoure l'aire dorsale du propodéum en arrière est net, mais étroit ; chez la ♀, en plus des tubercules huméraux, le collare et le scutellum peuvent être tachés de jaune ; pattes fortement tachées de jaune ; chez le ♂, la base des pattes 1 et 2 porte une pilosité dense, mais courte.

Commun sur le Plateau ; vallée du Rhône. Europe, Asie or.

**C. (Ablepharipus) congener** DAHLBOM

♀♂ : 4–5 mm. En plus des caractères donnés au tableau, se distingue du précédent par les téguments encore plus finement sculptés, sans trace de points, l'absence de dents au bord antérieur du clypéus, de chaque côté du lobe médian, la pilosité moins développée de la base des pattes du ♂ ; tibias 2 du ♂ normaux, mais avec un éperon très court.

Quelques individus récoltés sur le Plateau. Europe, localisé.

**C. (Ablepharipus) assimilis** (SMITH) (*tirolensis* KOHL)

♀ : 6–7 mm., ♂ : 5–7 mm. Se distingue des précédents par la taille plus grande, les téguments plus brillants et les divers caractères notés au tableau ; thorax toujours noir ; tibias 2 tachés de jaune à la base seulement.

Plateau, Jura, vallée du Rhône et Alpes jusqu'à 1600 m. ; peu commun. Europe centr., Japon.

Sous-genre **Coelocrabro** THOMSON

Mandibules sans dent nette au bord interne, bifides à l'extrémité chez le ♂ ; chez les ♀, elles ont deux pointes chez *acanthophorus*, quatre chez *capitosus* et *cinxius*, trois chez les autres espèces ; aire pygidiale de la ♀ rétrécie en arrière en une gouttière généralement brillante, jamais aussi nettement bifurquée en avant que chez le sous-genre précédent ; le 7<sup>e</sup> tergite du ♂ généralement sans ponctuation nette ; aire dorsale du propodéum et sculpture variables ; tibias 3 souvent renflés à l'extrémité. Abdomen, et mis à part *walkeri*, le thorax, noirs.

**C. (Coelocrabro) acanthophorus** KOHL

♀ : 4–5 mm., ♂ : 3,5–4 mm. Petite espèce, de position systématique un peu incertaine, qui se rapproche des *Crossocerus* s. s. par ses mandibules bifides, sa sculpture et ses tibias 3 peu renflés ; abdomen court, les segments un peu rétrécis à l'extrémité (fig. 453) ; thorax noir chez les individus d'Europe centrale ; aire pygidiale peu rétrécie (fig. 472).

Quelques individus récoltés sur le Plateau et dans la vallée du Rhône. Région méditerranéenne, jusqu'en Europe centr.

**C. (*Coelocrabro*) *walkeri* (SHUCKARD)**

♀ : 7–8 mm., ♂ : 5–6,5 mm. Se distingue des autres *Coelocrabro* par le clypéus et le bord interne des yeux jaunes ; collare, scutellum et postscutellum généralement tachés aussi ; mésopleures sans pointe ; aire dorsale du propodéum entourée d'un sillon complet chez le ♂, s'effaçant en avant sur les côtés chez la ♀ ; le 6<sup>e</sup> tergite de la ♀ porte des soies fortes et denses sur les côtés de l'aire pygidiale.

Quelques individus récoltés sur le Plateau et au sud des Alpes. Europe centr., Asie or.

**C. (*Coelocrabro*) *ambiguus* DAHLBOM**

♀ : 5–7 mm., ♂ : 4,5–6 mm. Le clypéus de la ♀ et les pattes 1 du ♂ permettent de reconnaître immédiatement cette espèce ; mésopleures sans pointe ; extrémités de la carène occipitale se terminant en une pointe très nette chez le ♂, moins accusée chez la ♀ ; tibias tachés de jaune.

Commun sur le Plateau. Europe, Asie or., Amérique sept.

**C. (*Coelocrabro*) *leucostoma* (LINNÉ) (*carbonarius* DAHLBOM)**

♀ : 6–8 mm., ♂ : 6–7,5 mm. Chez cette espèce et la suivante, l'aire dorsale du propodéum est entièrement entourée d'un sillon et les pattes de la ♀ sont noires ; chez *leucostoma* en particulier, la tête et le thorax sont très brillants, le propodéum assez fortement sculpté ; ♂ avec les pattes noires, les tarsi 1 et 2 tachés de blanc.

Assez commun dans le Jura et dans les Alpes, jusqu'à 2200 m. ; rare sur le Plateau. Europe centr. et sept., Japon.

**C. (*Coelocrabro*) *barbipes* DAHLBOM**

♀♂ : 6,5–8,5 mm. Se distingue du précédent, en plus des caractères du tableau, par la tête beaucoup plus rétrécie derrière les yeux, la sculpture plus fine du propodéum, le lobe médian du clypéus de la ♀ plus étroit ; le ♂ est caractérisé par ses pattes 1 à articles non élargis, mais à dense pilosité.

Plateau, Alpes jusqu'à 1900 m. ; peu commun. Europe centr. et sept., Japon.

**C. (*Coelocrabro*) *heydeni* KOHL**

♀ : 5,5–6,5 mm., ♂ : 4,5–5,5 mm. Le sillon entourant l'aire dorsale du propodéum est complet chez le ♂, mais s'afface sur les côtés en avant chez la ♀ ; ponctuation du mésonotum intermédiaire entre celle des deux précédents ; impressions frontales très petites ; clypéus de la ♀ ressemblant à celui de *cetratus* ; tibias plus ou moins ferrugineux.

Quelques individus récoltés sur le Plateau. Europe centr. et sept.

**C. (Coelocrabro) styrius** KOHL

♀ : 5,5–6,5 mm., ♂ : 4,5–5,5 mm. Clypéus de la ♀ ressemblant à celui de *pubescens* ; comme chez l'espèce précédente, les impressions frontales sont très petites ; un profond sillon longitudinal médian dans la partie antérieure du mésonotum ; 1<sup>er</sup> tergite plus allongé que chez tous les *Coelocrabro* ; tubercules huméraux et tegulae ferrugineux, surtout chez la ♀ ; tibias plus ou moins ferrugineux, ceux de la 3<sup>e</sup> paire jaunâtres à la base.

Plateau ; peu commun. Europe centr. et sept.

**C. (Coelocrabro) cetratus** (SHUCKARD)

♀ : 7–8 mm., ♂ : 6,5–7,5 mm. Les impressions frontales sont plus grandes et plus nettes que chez les deux précédents ; scapes carénés ; carène occipitale courte ; ♀ à pattes noires et aire pygidiale très allongée (fig. 474) ; ♂ immédiatement reconnaissable à ses pattes 1.

Plateau ; Alpes jusqu'à 1600 m. ; peu commun. Europe, Asie or.

**C. (Coelocrabro) pubescens** (SHUCKARD)

♀ : 6–7 mm., ♂ : 5,5–6,5 mm. Cette espèce et la suivante forment un petit groupe caractérisé par la longue pilosité de la tête et du thorax, les impressions frontales de la ♀ assez grandes et nettement limitées, l'aire dorsale du propodéum (pas limitée par un sillon) lisse et brillante, le 7<sup>e</sup> sternite du ♂ avec un tubercule, son 7<sup>e</sup> tergite avec des appendices qui se recourbent sur la face ventrale et apparaissent derrière l'extrémité du 6<sup>e</sup> sternite.

Plateau ; Jura ; ne monte guère dans les Alpes ; peu commun. Europe, Asie or.

**C. (Coelocrabro) leucostomoides** RICHARDS (*leucostoma* auct. nec L.)

♀ : 7–8,5 mm., ♂ : 6–8 mm. En plus des caractères du tableau, on peut noter que cette espèce se distingue de la précédente par le sillon médian du propodéum plus large et nettement bordé, les tibias 3 toujours entièrement noirs.

Plateau ; Jura ; Alpes jusqu'à 1600 m. ; assez commun. Europe, Asie centr.

**C. (Coelocrabro) capitosus** (SHUCKARD)

♀ : 6–7 mm., ♂ : 4,5–6 mm. Cette espèce et la suivante forment un petit groupe caractérisé par les tibias postérieurs renflés et avec de petites épines, les impressions frontales indistinctes, le mésonotum sans ponctuation nette, l'aire dorsale du propodéum non limitée et sans sillon médian, les mandibules de la ♀ quadridentées.

Plateau, Jura ; peu commun. Europe, Asie or.

**C. (Coelocrabro) cinxius** (DAHLBOM)

♀ : 5,5–7,5 mm., ♂ : 5–6 mm. Cette espèce se distingue de la précédente par le dessus de la tête et le mésonotum tout à fait mats (comme



chez les *Ablepharipus*), la tête plus courte derrière les yeux et les divers caractères donnés au tableau.

Plateau, Jura jusqu'à 1600 m. ; assez commun. Europe, Asie centr.

Sous-genre **Blepharipus** LEPELETIER et BRULLÉ  
(*Acanthocrabro* PERKINS)

Mandibules bifides chez le ♂, à trois pointes chez la ♀, avec une dent au bord interne ; aire pygidiale et 7<sup>e</sup> tergite du ♂ comme chez les *Coelocrabro*, le 7<sup>e</sup> sternite avec un tubercule ; aire dorsale du propodéum grande, limitée par des sillons ; tête et thorax nettement ponctués. Abdomen taché de jaune.

**C. (Blepharipus) vagabundus** (PANZER)

♀ : 8–11,5 mm., ♂ : 7–8,5 mm. Dessins jaunes d'extension variable.

Assez commun dans tout le pays, jusqu'à 1600 m. Europe, Asie jusqu'au Japon.

Sous-genre **Cuphopterus** A. MORAWITZ

Mandibules bifides chez le ♂, à trois pointes chez la ♀, avec une dent au bord interne ; aire pygidiale de la ♀ plane ou à peine creusée en gouttière, mais un peu rétrécie en arrière et à ponctuation espacée ; 7<sup>e</sup> tergite du ♂ sans ponctuation nette, 7<sup>e</sup> sternite avec un tubercule et deux petites dents ; 1<sup>er</sup> segment abdominal plus allongé que chez les autres sous-genres, le dessus de la tête brillant et déprimé ; aire dorsale du propodéum plus ou moins nettement limitée ; ♂ avec des déformations de divers articles des pattes. Abdomen taché de jaune.

**C. (Cuphopterus) dimidiatus** (FABRICIUS) (*serripes* PANZER)

♀ : 8–11,5 mm., ♂ : 7,5–9,5 mm. Comme chez l'espèce suivante, l'extension des dessins jaunes est variable ; chez la ♀, les impressions frontales sont indistinctes et les parties verticales et horizontales de la tête sont séparées par une sorte de bourrelet assez net.

Assez commun dans tout le pays, jusqu'à 1600 m. Europe, Asie or.

**C. (Cuphopterus) confusus** (SCHULZ) (*signatus* PANZER)

♀ : 9–11,5 mm., ♂ : 7,5–9,5 mm. Chez la ♀, on reconnaît sur la face supérieure de la tête, le long des yeux, des impressions frontales assez grandes, limitées par une faible carène ; le bourrelet, entre les parties verticale et horizontale, est moins net, la ponctuation de la partie antérieure du mésonotum est moins dense ; chez le ♂, la base des fémurs 3 montre, du côté interne, une petite épine qui manque chez l'espèce précédente.

Plateau, régions basses des Alpes, sud des Alpes ; peu commun. Europe.

### Genre *Lindenius* LEPELETIER et BRULLÉ

Petits Crabroniens noirs, à mandibules unidentées et sans échancrure à leur bord inférieur ; ocelles en angles obtus ; une aire pygidiale, plane, chez les deux sexes (fig. 508).

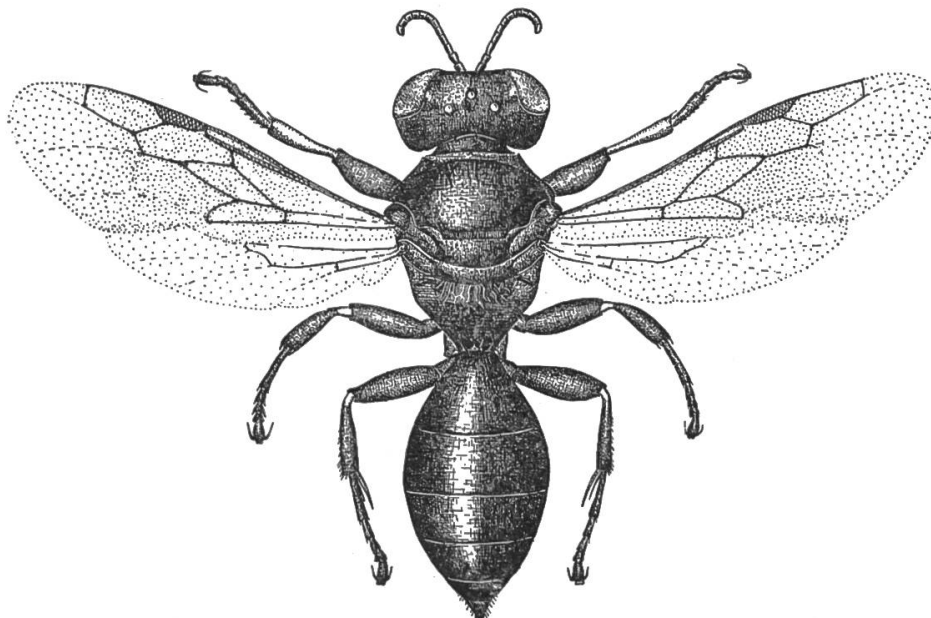


Fig. 508. *Lindenius albilabris* ♀.

♀ : 6<sup>e</sup> tergite avec une aire pygidiale très nettement limitée.

♂ : 7<sup>e</sup> tergite avec une aire pygidiale un peu moins nette.

Genre répandu dans les régions holarctique et néotropicale, avec près de 20 espèces en Europe.

Les *Lindenius* nichent dans le sol et emmagasinent, selon les espèces, des Diptères brachycères, des Hémiptères hétéroptères ou des Hyménoptères.

Voir : DE BEAUMONT (1956 a)

♀♀

- |   |   |                   |
|---|---|-------------------|
| 1 | Scapes, mandibules et thorax sans taches jaunes . . .   | <b>albilabris</b> |
| — | Au moins la face externe des scapes, souvent aussi les mandibules et le thorax tachés de jaune . . . . .  | 2                 |
| 2 | Entre les ocelles postérieurs et le bord interne des yeux, des impressions frontales très nettement limitées (fig. 515) ; métatarses 3 un peu épaissis (fig. 514) . . . . . | <b>armatus</b>    |
| — | Pas d'impressions frontales nettement limitées ; métatarses 3 normaux (fig. 513) . . . . .  | 3                 |
| 3 | Mandibules en grande partie jaunes ; une petite pointe en dessus des insertions antennaires . . . . .   | <b>panzeri</b>    |
| — | Mandibules à peine éclaircies au milieu ; pas de pointe au-dessus des insertions antennaires . . . . .  | <b>subaeneus</b>  |

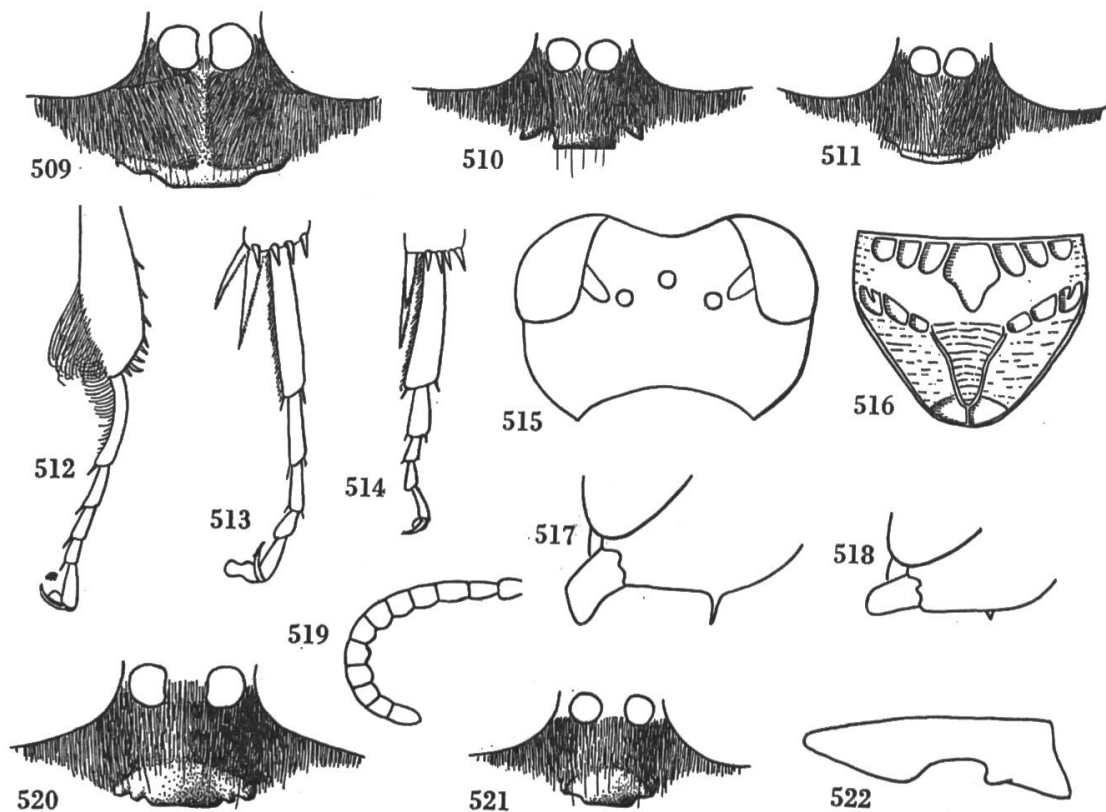


Fig. 509-522. *Lindenius* et *Entomognathus*. — 509. *L. albilabris* ♀, clypéus. — 510. *L. subaeneus* ♀, id. — 511. *L. armatus* ♀, id. — 512. *L. albilabris* ♂, patte 2. — 513. *L. panzeri* ♀, patte 3. — 514. *L. armatus* ♀, id. — 515. *L. armatus*, ♀, tête. — 516. *L. armatus*, propodéum. — 517, 518. *L. armatus* ♂, tempe. — 519. *L. albilabris* ♂, antenne. — 520. *E. brevis* ♀, clypéus. — 521. *E. brevis* ♂, id. — 522. *E. brevis*, mandibule.

♂♂

- |   |  |                   |
|---|--|-------------------|
| 1 | Métatarse 2 courbé, portant, ainsi que l'extrémité du tibia, une longue pilosité (fig. 512)                    | <b>albilabris</b> |
| — | Métatarse 2 droit, sans longue pilosité  | 2                 |
| 2 | Aire dorsale du propodéum avec deux zones lisses et brillantes, entourées de forts sillons crénelés (fig. 516) | <b>armatus</b>    |
| — | Aire dorsale entièrement (parfois finement) striée   | 3                 |
| 3 | Tempes avec une pointe dressée (voir fig. 517, 518)  | <b>panzeri</b>    |
| — | Tempes inermes   | <b>subaeneus</b>  |

### **L. albilabris** (FABRICIUS)

♀♂ : 5-8 mm. Aire dorsale du propodéum entièrement et assez fortement striée, le ♂ se distingue des espèces suivantes par les articles du funicule dilatés à leur face inférieure (fig. 519) ; clypéus de la ♀ : fig. 509.

Commun dans tout le pays, jusqu'à 1900 m., dans les Alpes. Europe, Asie jusqu'en Mandchourie.

**L. subaeneus** LEPELETIER et BRULLÉ

♀♂ : 4-5,5 mm. Aire dorsale du propodéum à surface brillante, mais très finement striolée ; des reflets bronzés plus ou moins nets ; lobe médian du clypéus avec des dents latérales beaucoup plus aiguës que chez les autres espèces (fig. 510).

Plateau, vallée du Rhône ; assez commun. Europe centr. et mérid.

**L. panzeri** (VAN DER LINDEN)

♀♂ : 4,5-7,5 mm. Cette espèce et la suivante se distinguent des précédentes par la présence d'une petite pointe au-dessus des insertions antennaires et par le sillon vertical des mésopleures plus développé. Chez *panzeri*, la sculpture du propodéum est forte, le collare montre de chaque côté un petit tubercule pointu.

Plateau, vallée du Rhône et sud des Alpes ; assez commun. Europe centr. et mérid., Asie occ.

**L. armatus** (VAN DER LINDEN)

♀♂ : 3,5-5,5 mm. Peut être considéré comme espèce distincte ou comme forme de *pygmaeus* ROSSI ; clypéus de la ♀ : fig. 511 ; plus encore que chez l'espèce précédente, la forme du clypéus et des mandibules, le développement d'une pointe aux tempes, varient chez les ♂ avec la taille des individus (fig. 517, 518).

Plateau, vallée du Rhône ; assez commun. Europe ; Asie occ.

**Entomognathus** DAHLBOM

Ressemblent beaucoup aux *Lindenius*, dont ils se distinguent par les yeux velus et les mandibules échancrées au bord inférieur (fig. 522).

♀ : 6<sup>e</sup> tergite avec une aire pygidiale très nettement limitée.

♂ : 7<sup>e</sup> tergite avec une aire pygidiale, un peu moins nette.

Genre très répandu, avec 4 espèces en Europe.

Les *Entomognathus* nichent dans des terriers où ils emmagasinent des Altises (Coléoptères, Halticinae).

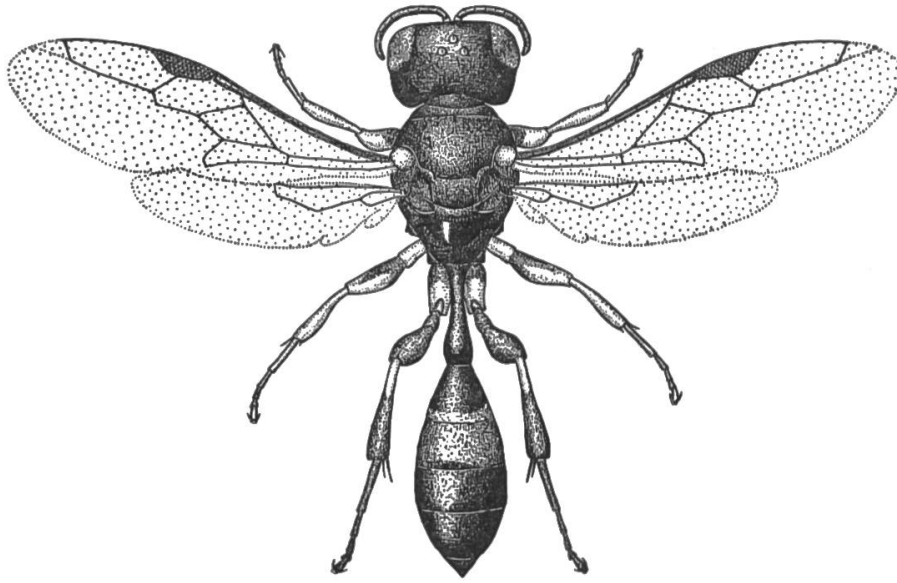
**E. brevis** (VAN DER LINDEN)

♀♂ : 3-5,5 mm. Face antérieure des scapes et tubercules huméraux généralement jaunes ; pattes tachées de jaune ; toute la partie antérieure du clypéus glabre et brillante (fig. 520, 521).

Commun dans tout le pays, jusqu'à 1600 m. Europe, Afrique sept., Asie jusqu'au Pacifique.

**Rhopalum** KIRBY

Petits Crabroniens noirs, ou avec l'abdomen en partie rouge, reconnaissables à leur premier segment abdominal allongé, pétioliforme, et à l'absence de carène épiconémiale (fig. 523).

Fig. 523. *Rhopalum clavipes* ♀.

♀ : 6<sup>e</sup> tergite avec une aire pygidiale ; antennes simples.

♂ : pas d'aire pygidiale ; antennes souvent avec des articles déformés.

Genre cosmopolite, avec 4 espèces en Europe.

Les *Rhopalum* nichent dans le bois ou dans des tiges, et emmagasinent, selon les espèces, des Diptères nématocères, des Psocoptères ou des Hémiptères homoptères.

♀♀

- |   |   |                   |
|---|---|-------------------|
| 1 | Aire pygidiale très nettement limitée, brillante (fig. 527) . . .   | 2                 |
| — | Aire pygidiale peu nettement limitée, mate (fig. 526) . . .   | 3                 |
| 2 | Tibias 3 jaunes et noirs dans leur moitié basale, ferrugineux dans leur moitié apicale . . . . .  | <b>coarctatum</b> |
| — | Tibias 3 noirs, avec un anneau jaune à la base . . .  | <b>nigrinum</b>   |
| 3 | Propodéum sans aire dorsale limitée en arrière et sans sillon médian ; tergites 2 à 6 entièrement ou en grande partie ferrugineux . . . . . | <b>clavipes</b>   |
| — | Propodéum avec une aire dorsale limitée en arrière par un sillon crénelé et avec un sillon médian ; abdomen en grande partie noir . . . . . | <b>austriacum</b> |

♂♂

- |   |   |                   |
|---|---|-------------------|
| 1 | Articles 2, 4 et 5 des antennes fortement déformés (fig. 529, 530) ; métatarses 1 élargis à l'extrémité (fig. 536, 537) . . . | 2                 |
| — | Articles 2, 4 et 5 simples (fig. 528) ; métatarses 1 non élargis . . .  | 3                 |
| 2 | Tibias 3 jaunes et noirs dans leur moitié basale, ferrugineux dans leur moitié apicale . . . . .                              | <b>coarctatum</b> |
| — | Tibias 3 noirs avec un anneau jaune à la base . . . . .   | <b>nigrinum</b>   |

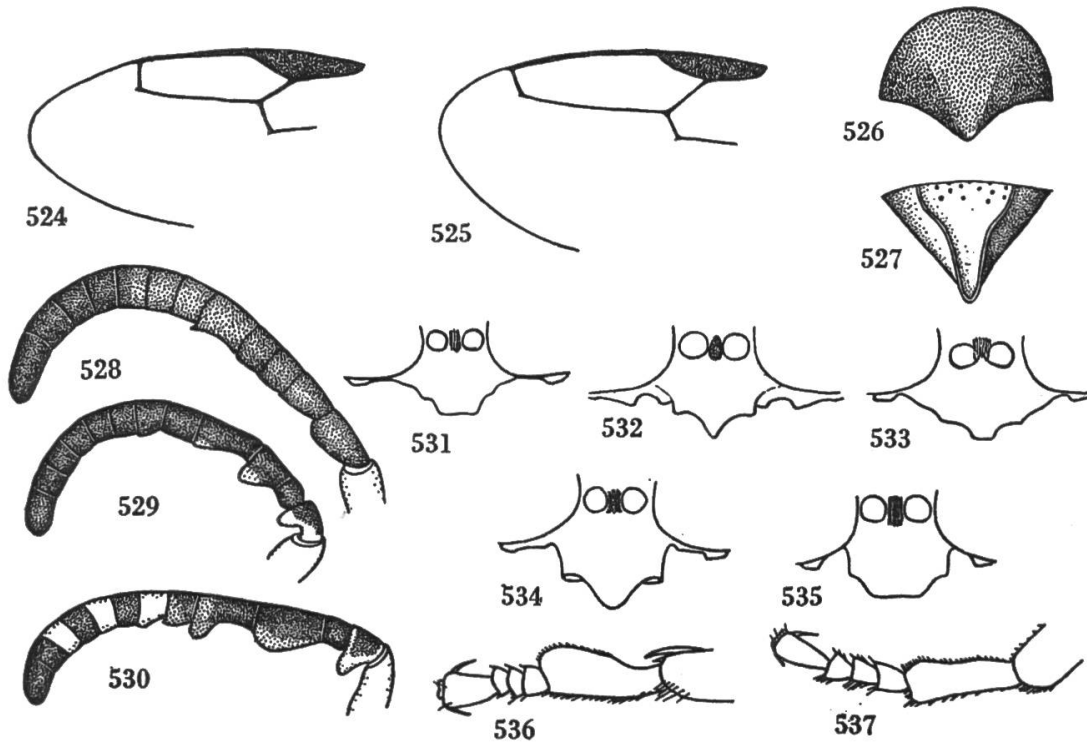


Fig. 524–537. *Rhopalum*. — 524. *coarctatum*, cellule radiale. — 525. *clavipes*, id. — 526. *clavipes* ♀, aire pygidiale. — 527. *coarctatum* ♀, id. — 528. *clavipes* ♂, antenne. — 529. *nigrinum*, id. — 530. *coarctatum* ♂, id. — 531. *nigrinum* ♀, clypéus. — 532. *coarctatum* ♀, id. — 533. *clavipes* ♀, id. — 534. *coarctatum* ♂, id. — 535. *nigrinum* ♂, id. — 536. *coarctatum* ♂, métatarse 1. — 537. *nigrinum* ♂, id.

- 3 Le 6<sup>e</sup> article des antennes échancré en dessous, plus long que le 5<sup>e</sup> et le 7<sup>e</sup> (fig. 528) ; métatarses 2 simples . . . . . **clavipes**  
 — Le 6<sup>e</sup> article des antennes simple, pas plus long que le 5<sup>e</sup> et le 7<sup>e</sup> ; métatarses 2 élargis vers leur tiers postérieur . . . . . **austriacum**

### **R. clavipes** (LINNÉ)

♀♂ : 4–6 mm. Cette espèce et la suivante se distinguent des deux autres par le pétiole, qui ne montre qu'une fine carène latérale, et par la cellule radiale tronquée obliquement à l'extrémité (fig. 525) ; clypéus de la ♀ : fig. 533 ; abdomen du ♂ moins ferrugineux que celui de la ♀.

Plateau, vallée du Rhône, sud des Alpes ; assez commun. Europe, Japon.

### **R. austriacum** KOHL

♀♂ : 4–6 mm. La face postérieure du propodéum est séparée des faces latérales par une fine carène qui n'existe, chez l'espèce précédente, que dans la partie tout à fait inférieure seulement ; appendice médian du clypéus de la ♀ plus étroit.

Deux exemplaires trouvés en Suisse : Clarens (Vaud) et Mayens-de-Sion (Valais). Europe centr.

**R. coarctatum** (SCOPOLI) (*tibialis* FABRICIUS)

♀♂ : 5–7 mm. Face dorsale du pétiole avec une carène médiane plus ou moins développée ; cellule radiale tronquée perpendiculairement à l'extrémité (fig. 524) ; abdomen peu taché de ferrugineux ; clypéus ♀ : fig. 532 ; clypéus ♂ : fig. 534 ; tous les métatarses du ♂ nettement déformés (fig. 536).

Plateau, sud des Alpes ; commun. Europe, Asie centr., Amérique sept.

**R. nigrinum** KIESENWETTER (*kiesenwetteri* A. MORAWITZ)

♀♂ : 4,5–6 mm. Face dorsale du pétiole avec une carène médiane et des carènes latérales ; clypéus ♀ : fig. 531 ; clypéus ♂ : fig. 535 ; métatarses 2 et 3 du ♂ à peu près normaux ; funicules du ♂ sans anneaux blancs.

Plateau, vallée du Rhône et sud des Alpes ; localisé. Europe, Asie jusqu'au Japon.

**Oxybelus** LATREILLE

Les espèces se rattachant à ce genre sont immédiatement reconnaissables à leur nervulation, aux lamelles (ailerons) du postscutellum et à l'appendice canaliculé de la base du propodéum : le mucron ; petites espèces, ramassées, avec l'abdomen très généralement taché de jaune ou de blanchâtre. L'identification des ♂ est parfois difficile (fig. 538).

♀ : 6<sup>e</sup> tergite avec une aire pygidiale triangulaire très nette.

♂ : 7<sup>e</sup> tergite avec une aire pygidiale tronquée, peu nette ; clypéus très nettement tridenté.

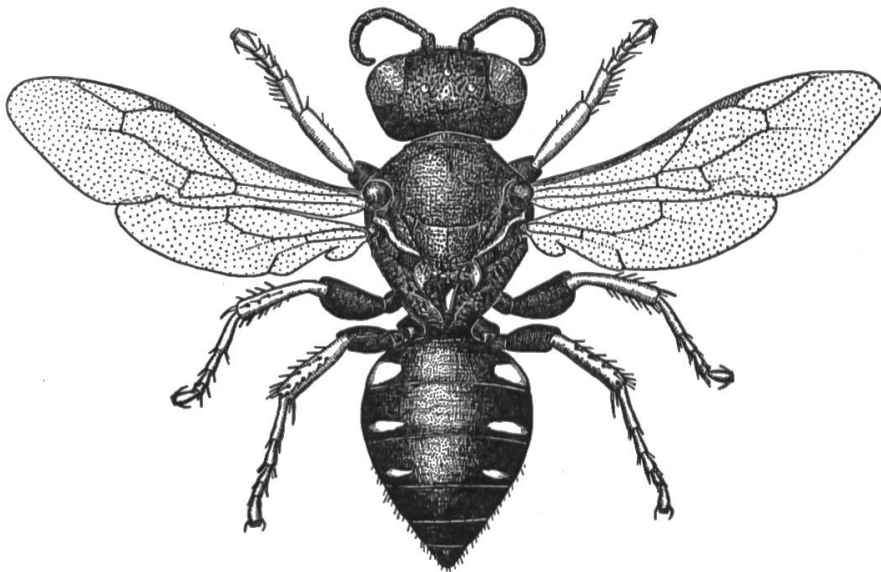


Fig. 538. *Oxybelus uniglumis* ♀.

Genre cosmopolite avec une vingtaine d'espèces en Europe.

Les *Oxybelus* creusent des terriers qu'ils approvisionnent avec des Diptères brachycères.

Voir : DE BEAUMONT (1942 b), VERHOEFF (1948), FAESTER (1949), NOSKIEWICZ et CHUDODA (1950), GUIGLIA (1953), BLÜTHGEN (1954).

♀♀

- |   |   |   |
|---|---|---|
| 1 | Fémurs 2 et 3 entièrement ou presque entièrement ferrugineux  | 2 |
| — | Fémurs 2 et 3 noirs, parfois tachés de jaune ou de ferrugineux à l'extrémité . . . . .  | 3 |
| 2 | Mésnotum avec deux ou quatre lignes longitudinales jaunes ; mucron assez large et tronqué à l'extrémité . . . p. 160, <b>lineatus</b>   |   |
| — | Mésnotum noir ; mucron aigu à l'extrémité (fig. 543) p. 160, <b>argentatus</b>  |   |
| 3 | Abdomen très brillant, avec des reflets bronzés, à ponctuation fine, très éparse et très indistincte, taché de jaune au plus sur les deux premiers tergites ; front brillant, à ponctuation assez espacée . . . . . p. 161, <b>bipunctatus</b>                            |   |
| — | Abdomen nettement et plus ou moins densément ponctué, sans reflets bronzés, souvent taché de jaune ou de blanc sur plus de deux tergites ; front à ponctuation dense . . . . .  | 4 |
| 4 | Aire pygidiale d'un ferrugineux clair ; dessins de l'abdomen rarement d'un jaune doré, généralement d'un jaune clair ou blanchâtre ; mandibules plus ou moins ferrugineuses . . . . .   | 5 |
| — | Aire pygidiale noire ou d'un ferrugineux très foncé ; mandibules souvent noires . . . . .   | 7 |
| 5 | Tibias 2 et 3 noirs et jaunâtres, peu tachés de ferrugineux ; mandibules jaune clair à la base ; ponctuation du 2 <sup>e</sup> sternite et du mésosternum très fine et dense . . p. 162, <b>quatuordecimnotatus</b>   |   |
| — | Tibias 2 et 3 en grande partie ou entièrement ferrugineux ; mandibules généralement moins claires ; ponctuation du 2 <sup>e</sup> sternite et du mésosternum plus forte et moins dense . . . . .  | 6 |
| 6 | Tergites à ponctuation très dense avec les espaces plus petits que les points, leurs dépressions terminales nettement limitées, densément ponctuées aussi, blanchâtres ; métatarse 2 généralement avec deux longues épines latérales (fig. 551) . . p. 162, <b>victor</b> |   |
| — | Tergites à ponctuation moins dense avec les espaces plus grands que les points, leurs dépressions terminales peu nettement limitées, peu densément ponctuées aussi, pas blanchâtres ; métatarse 2 sans longues épines latérales (fig. 550) p. 162, <b>variegatus</b>      |   |
| 7 | Lamelles du postscutellum, vues de profil, simples à l'extrémité (fig. 542, 547) ; tibias 2 et 3 ferrugineux, rarement obscurcis ; taches de l'abdomen blanchâtres . . . . .  | 8 |
| — | Lamelles du postscutellum bifides (fig. 546, 548, 549) ; si elles sont peu nettement bifides ( <i>trispinosus</i> ), tibias 2 et 3 noirs et taches de l'abdomen jaunes ; mandibules foncées . . . . .   | 9 |



- 8 Mésopleures entièrement réticulées ; mandibules noires ; ponctuation des tergites très fine . . . . . p. 161, **uniglumis**  
 — Mésopleures brillantes et ponctuées ; mandibules jaunâtres à la base ; ponctuation des tergites plus forte p. 160, **mandibularis**
- 9 Pilosité du front d'un brun roux ; pattes 2 et 3 entièrement noires ; les tergites et le 2<sup>e</sup> sternite à ponctuation fine ; lamelles du postscutellum souvent peu nettement bifides (fig. 549) ; taches de l'abdomen jaunes . . . . . p. 161, **trispinosus**

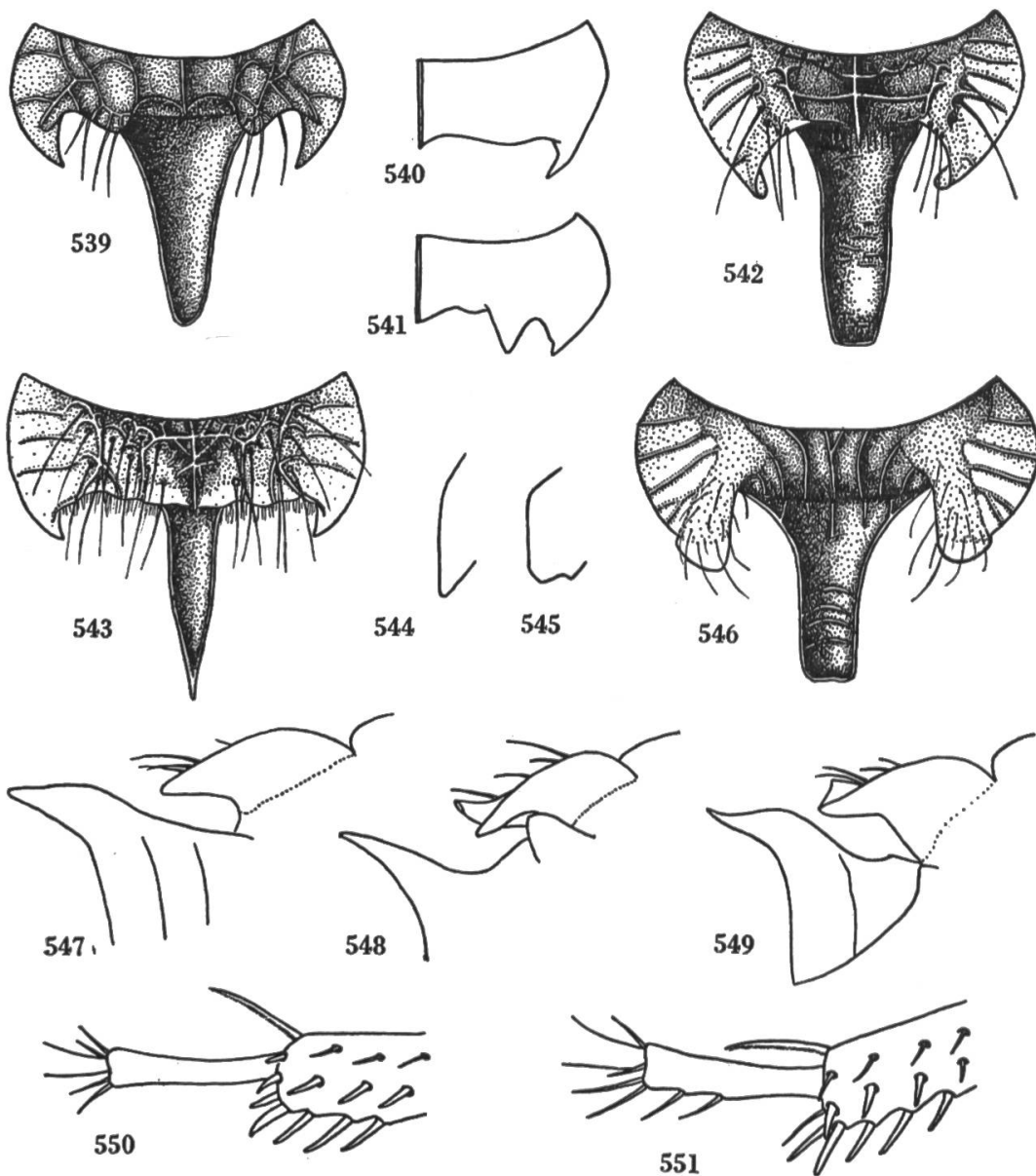


Fig. 539-551. *Oxybelus*. — 539. *bipunctatus*, postscutellum et mucron. — 540, 541 *bipunctatus*, 2 formes du postscutellum. — 542. *mandibularis* ♀, postscutellum et mucron — 543. *argentatus* ♀, id. — 544. *mucronatus* ♂, dent médiane du clypéus, de profil. — 545. *dissectus* ♂, id. — 546. *quatuordecimnotatus* ♀, postscutellum et mucron. — 547. *uniglumis* ♀, postscutellum et mucron, de profil. — 548. *quatuordecimnotatus* ♀, id. — 549. *trispinosus* ♀, id. — 550. *variegatus* ♀, métatarse 2. — 551. *victor* ♀, id.

- Pilosité du front d'un gris argenté ; pattes 2 et 3 souvent tachées de jaune à l'extrémité des fémurs et à la base des tibias ; ponctuation de l'abdomen plus forte ; lamelles du postscutellum nettement bifides (fig. 548) . . . . . 10
- 10 Taches de l'abdomen blanchâtres ; ponctuation des tergites peu dense, avec des espaces généralement plus grands que les points ; partie antérieure des mésopleures plus ou moins nettement ponctuée . . . . . p. 161, **dissectus**
- Taches de l'abdomen d'un jaune doré ; ponctuation des tergites dense, avec des espaces généralement plus petits que les points ; mésopleures entièrement réticulées . . . . . p. 161, **mucronatus**

♂♂

- 1 Sternites 3 à 6 portant à la base une frange de longs poils serrés, très visibles sous certains angles . . . . . 2
- Sternites sans franges de poils denses . . . . . 3
- 2 Postscutellum jaune entre les lamelles ; fémurs 2 et 3 en partie ferrugineux ; 8–10 mm. . . . . p. 160, **lineatus**
- Postscutellum généralement noir ; fémurs 2 et 3 noirs, plus ou moins tachés de jaune à l'extrémité ; 5–7 mm. . . . . p. 160, **mandibularis**
- 3 Tergites avec des reflets bronzés et une ponctuation espacée, en particulier sur les dépressions terminales où les espaces sont plus grands que les points ; épine apicale du métatarse 1 aussi longue que le 2<sup>e</sup> article du tarse ; haut du front souvent à ponctuation peu dense ; 4–5 mm. . . . . p. 161, **bipunctatus**
- Tergites sans reflets bronzés, avec une ponctuation dense, les espaces presque toujours plus petits que les points ; 4–9 mm. . . . . 4
- 4 Lamelles du postscutellum, vues de profil, simples à l'extrémité (fig. 547) . . . . . 5
- Lamelles du postscutellum bifides (fig. 548, 549) . . . . . 7
- 5 Taches de l'abdomen blanchâtres ; tibias généralement plus ou moins ferrugineux, rarement obscurcis ; fémurs avec une très petite tache apicale claire . . . . . p. 161, **uniglumis**
- Taches de l'abdomen jaunes ; tibias noirs et jaunes ; fémurs souvent avec d'assez grandes taches apicales jaunes . . . . . 6
- 6 Epine apicale du métatarse 1 aussi longue que le 2<sup>e</sup> article du tarse ; tibias 2 et 3 jaunes, plus ou moins tachés de ferrugineux ; mucron généralement très aigu ; 6–9 mm. . . . . p. 160, **argentatus**
- Epine apicale du métatarse 1 nettement plus courte que le 2<sup>e</sup> article du tarse ; tibias 2 et 3 jaunes, généralement tachés de noir à l'extrémité ; mucron moins aigu ; 5–7 mm. . . . . p. 161, **trispinosus**
- 7 La saillie médiane du clypéus n'est pas carénée longitudinalement (« Stumpfe Nase ») ; épine apicale du métatarse 1 à peu près aussi longue que le 2<sup>e</sup> article des tarsi . . . . . p. 162, **victor**
- La saillie médiane du clypéus est nettement carénée longitudinalement ; épine apicale du métatarse 1 plus courte . . . . . 8

- 8 Base des mandibules jaune ou ferrugineux-jaunâtre . . . . . 9  
 — Mandibules noires . . . . . 10
- 9 Généralement des taches jaunes sur les cinq premiers tergites ;  
 7<sup>e</sup> tergite généralement ferrugineux ; funicules en grande partie  
 ferrugineux ; ponctuation du 2<sup>e</sup> sternite et du mésosternum très  
 fine et dense . . . . . p. 162, **quatuordecimnotatus**  
 — Très rarement des taches sur le 5<sup>e</sup> tergite ; 7<sup>e</sup> tergite noir ; funi-  
 cules ferrugineux en dessous à l'extrémité ; ponctuation du  
 2<sup>e</sup> sternite plus forte et moins dense . . . . . p. 162, **variegatus**
- 10 Métatarses 2 et 3 ferrugineux, rarement un peu rembrunis ;  
 ponctuation des tergites très fine ; lamelles du postscutellum sou-  
 vent indistinctement bifides (fig. 549) . . . . . p. 161, **trispinosus**  
 — Métatarse 2 et 3 noirâtres ; ponctuation des tergites plus forte ;  
 lamelles du postscutellum nettement bifides (fig. 548) . . . . . 11
- 11 Fémurs 1 et 2 généralement avec de grandes taches jaunes  
 à l'extrémité ; tergites à ponctuation très dense et taches d'un  
 jaune doré ; la saillie médiane du clypéus est terminée en pointe  
 aiguë (fig. 544) ; les saillies latérales non bifides (examiner par-  
 dessous) . . . . . p. 161, **mucronatus**  
 — Fémurs 1 et 2 généralement avec de petites taches jaunes à  
 l'extrémité ; tergites à ponctuation moins dense et taches d'un  
 jaune plus clair ; la saillie médiane du clypéus est accompagnée  
 en arrière d'une deuxième petite pointe (fig. 545) ; saillies latérales  
 plus ou moins bifides . . . . . p. 161, **dissectus**

### **O. lineatus** (FABRICIUS)

♀ : 10–12 mm., ♂ : 8–10 mm. La plus grande espèce du genre ;  
 les dessins jaunes sont très étendus ; le mésonotum du ♂ peut montrer  
 des traces des lignes jaunes caractéristiques de la ♀.

Deux exemplaires seulement, capturés au siècle dernier : Genève et  
 Grono (val Mesocco). Europe centr. et mérid.

### **O. argentatus** CURTIS (*mucronatus* auct.)

♀ : 8–10 mm., ♂ : 6–9 mm. La coloration et la pilosité varient  
 beaucoup, géographiquement et individuellement ; les individus de  
 notre pays appartiennent à la sous-espèce *argentatus debeaumonti*  
 VERHOEFF ; leurs dessins sont jaunes ; les cinq premiers tergites sont  
 tachés chez la ♀, généralement aussi chez le ♂.

Vallée du Rhône, Engadine et sud des Alpes ; peu commun. Europe.

### **O. mandibularis** DAHLBOM (*sericatus* GERSTAECKER)

♀ : 6–7,5 mm., ♂ : 5–7 mm. A, comme *uniglumis*, les dessins blancs,  
 les tibias ferrugineux chez la ♀, les lamelles simples, le postscutellum  
 avec une seule strie bien indiquée (fig. 542) ; généralement des taches  
 sur les tergites 1–4.

Vallée du Rhône et sud des Alpes ; peu commun. Europe centr. et  
 sept.

**O. uniglumis** (LINNÉ)

♀ : 5,5–8 mm., ♂ : 5–7 mm. Les tibias sont ferrugineux ou plus ou moins rembrunis ; il y a généralement des taches blanchâtres sur les tergites 1–5 chez la ♀ ; chez le ♂, il y a une à quatre paires de taches.

Commun dans tout le pays, mais ne monte pas au-dessus de 1400 m. Europe.

**O. bipunctatus** OLIVIER

♀ : 4–5,5 mm., ♂ : 4–5 mm. Les lamelles du postscutellum ne sont pas bifides à l'extrémité, mais leur pointe terminale est souvent précédée d'un petit lobe, non visible de profil (fig. 539 à 541) ; mandibules souvent jaunes à la base ; abdomen de la ♀ parfois noir, généralement avec une paire de taches sur le 1<sup>er</sup> tergite, parfois aussi sur le 2<sup>e</sup>, celui du ♂ avec une à cinq paires de taches.

Plateau, vallée du Rhône et sud des Alpes ; assez commun. Europe, Afrique sept., Amérique sept.

**O. trispinosus** (FABRICIUS) (*nigripes* OLIVIER)

♀ : 6–8 mm., ♂ : 5–7 mm. Les lamelles du postscutellum ne sont jamais aussi nettement bifides que chez les espèces suivantes, parfois presque simples ; chez la ♀, le thorax, l'aire pygidiale et la plus grande partie des pattes sont noirs, le 1<sup>er</sup> tergite avec deux taches jaunes, parfois de petites taches sur les segments suivants ; ♂ à dessins jaunes beaucoup plus développés.

Assez commun dans tout le pays, jusqu'à 2000 m. dans les Alpes. Europe.

**O. mucronatus** (FABRICIUS) (*pugnax* OLIVIER)

♀ : 7–9 mm., ♂ : 5–7 mm. Comme chez les espèces suivantes, les lamelles sont nettement bifides à l'extrémité et le postscutellum montre entre elles plusieurs stries longitudinales. Chez *mucronatus*, les dessins, d'un jaune doré, sont d'extension très variable sur les pattes et sur l'abdomen qui, chez la ♀, varie de presque entièrement noir à presque entièrement jaune.

Région du Léman, vallée du Rhône et sud des Alpes, assez commun. Europe centr. et mérid., Afrique sept., Asie occ.

**O. dissectus** DAHLBOM (*monachus* GERSTAECKER)

♀ : 7–9 mm., ♂ : 5–7 mm. Comme chez *mucronatus*, les mandibules et l'aire pygidiale sont noires et l'extension des dessins clairs (blanchâtres chez le ♀, jaunes chez le ♂) est variable ; l'espèce se distingue encore de la précédente par la pilosité dressée de la tête et du thorax plus longue.

Plateau et vallée du Rhône ; peu commun. Europe centr. et mérid., Afrique sept.

**O. quatuordecimnotatus** JURINE (*mucronatus* VERHOEFF nec. FABRICIUS)

♀ : 5,5-7 mm., ♂ : 4-6 mm. Face plus étroite que chez les deux suivants ; dessins très constants ; chez les ♀, les taches sont d'un jaune clair et occupent, sur l'abdomen, les quatre premiers tergites, parfois le cinquième ; chez le ♂, les cinq premiers tergites sont tachés de jaune et le scutellum a généralement deux taches ; base des mandibules d'un jaune très clair.

Plateau, vallée du Rhône et sud des Alpes ; commun. Europe, Afrique sept., Asie jusqu'en Mongolie.

**O. victor** LEPELETIER

♀ : 6-7,5 mm., ♂ : 4-6,5 mm. Etendue et teinte des dessins jaunes variable chez la ♀ ; chez la race caractéristique de la vallée du Rhône, *victor melancholicus* CHEVRIER, les dessins sont d'un jaune blanchâtre, assez réduits, avec 3 à 5 paires de taches sur l'abdomen chez la ♀, deux à quatre paires chez le ♂ ; chez la race typique, les dessins sont d'un jaune plus vif et plus développés.

Commun dans la vallée du Rhône (*v. melancholicus*) ; rare dans la région du Léman et au sud des Alpes (*v. victor*). Europe, Afrique sept., Asie jusqu'au Japon.

**O. variegatus** WESMAEL (*mandibularis* auct. nec. DAHLBOM)

♀ : 5-6,5 mm., ♂ : 4-6 mm. Le postscutellum est moins nettement strié entre les lamelles que chez les quatre précédents ; l'abdomen porte généralement trois à quatre paires de taches, blanchâtres chez la ♀, jaunes chez le ♂ ; chez la ♀, le bord postérieur du 5<sup>e</sup> tergite est ferrugineux, comme le 6<sup>e</sup>.

Plateau, vallée du Rhône et sud des Alpes ; assez commun. Europe centr. et mérid.

TRAVAUX CITÉS

- DE ANDRADE, N. F. 1960. *Palaearctic Miscophus : bicolor group and isolated species (Hymenoptera, Sphecidae)*. Mem. Estud. Mus. Zool. Univ. Coimbra N° 262, p. 1-136.
- BAJÁRI, N. E., 1957. *Fauna Hungariae. Sphecoidea I*. Budapest, Akadémiai Kiadó, 117 pp.
- DE BEAUMONT, J. 1936. *Les Tachysphex de la faune française (Hym. Sphecidae)*. Ann. Soc. ent. France 105, p. 177-212.
- 1937. *Les Psenini (Hym. Sphecid.) de la région paléarctique*. Mitt. Schweiz. ent. Ges. 17, p. 33-93.
- 1942 a. *Les Oxybelus de la faune suisse*. Mitt. schweiz. ent. Ges. 18, p. 416-428.
- 1942 b. *Etude des Astatata de la Suisse avec quelques notes sur les espèces de la faune française*. Mitt. schweiz. ent. Ges. 18, p. 401-415.
- 1943. *Systématique et croissance dysharmonique*. Mitt. schweiz. ent. Ges. 19, p. 45-52.